

## Úvodem

Milé řešitelky, milí řešitelé,

a je to tady! Blížíme se do finále 32. ročníku FYKOSu, což znamená, že máte poslední šanci vylepšit svoje dosavadní skóre a zlepšit tak svoji pozici v celkovém pořadí. Motivační vám může také být podzimní soustředění, na které se můžete dostat na základě vašich výsledků v druhém pololetí. Již za necelý měsíc proběhne jarní soustředění, na kterém se setkáme s nejlepšími řešiteli prvního pololetí, a věříme, že si ho společně s námi skvěle užijete! :)

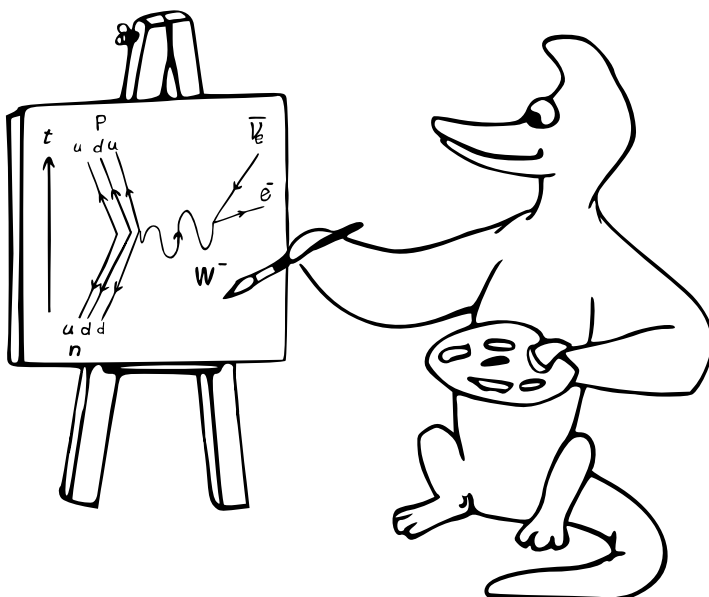
Těm z vás, kteří už jsou v maturitním ročníku, přejeme hodně štěstí u maturit i u přijímacích zkoušek, ať se dostanete na svou vysněnou vysokou školu. Jdete-li na Matfyz, rádi vás uvidíme v organizátorských řadách! Mladším ročníkům připomínáme, že budete-li úspěšními řešiteli FYKOSu a půjdete-li na Matfyz, budou vám na něj odpustěny přijímací zkoušky!

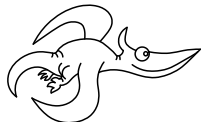
V šesté sérii se budeme zabývat geometrickou optikou, pokusíme se vyřešit problém suché silnice při dešti či měřit koeficient tření a mnoho dalšího! Poslední díl seriálu se bude zaobírat dalším pilířem, na kterém stojí teoretická mechanika – Hamiltonův formalismus.

Za chybějící řešení problémové úlohy se omlouváme, brzy bude zveřejněno na internetu.

Přejeme vám hodně štěstí v řešení poslední série a budeme se těšit na viděnovou! :)

*Organizátoři*



*Zadání VI. série*

Termín uploadu: 30. 4. 2019 23.59

Termín odeslání: 29. 4. 2019

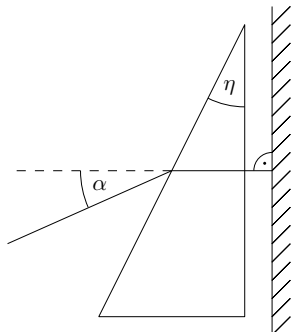
**Úloha VI.1 ... sebeosvícení**

3 body

Svítíme na zrcadlo pod úhlem  $\alpha = 15^\circ$  vůči kolmici. Chceme, aby se nám paprsek vrácel zpátky do zdroje. Máme skleněný hranol s indexem lomu  $n = 1,8$ . Jaký musí být lámový úhel  $\eta$  v závislosti na  $\alpha$  a  $n$ , pokud situace vypadá jako obrázku? Předpokládejte, že okolní prostředí tvoří vzduch s indexem lomu  $n_0$ .

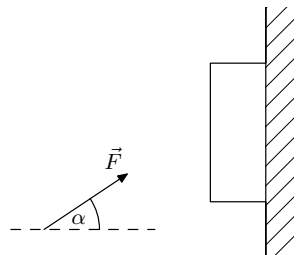
Nápověda

$$\begin{aligned}\sin(x+y) &= \sin x \cos y + \cos x \sin y, \\ \cos(x+y) &= \cos x \cos y - \sin x \sin y, \\ \sin x + \sin y &= 2 \sin\left(\frac{x+y}{2}\right) \cos\left(\frac{x-y}{2}\right), \\ \cos x + \cos y &= 2 \cos\left(\frac{x+y}{2}\right) \cos\left(\frac{x-y}{2}\right).\end{aligned}$$

**Úloha VI.2 ... knihomol**

3 body

Vítek trávil čas v knihovně. Kvůli jeho neobratnosti jedna kniha spadla z regálu a on ji rychlým pohybem ruky stačil přimácknout ke stěné. Na knihu působí silou  $F$  pod úhlem  $\alpha$ , viz obrázek. Kniha má hmotnost  $M$  a součinitel smykového tření mezi knihou a zdí je  $\mu$ . Nalezněte podmínu pro sílu, při které kniha zůstane nehybná, a určete hraniční úhel  $\alpha_0$ , po jehož překročení již není možné knihu udržet.

**Úloha VI.3 ... dostřík**

6 bodů

Hladina 98% kyseliny sírové v lahvi sahá do výšky  $h$ . V určitém místě kolmo na stěnu nádoby vyvrátáme velmi malý otvor a kapalina začne vytékat ven. Do jaké maximální vzdálenosti od lahve může kyselina dostříknout ze všech možných poloh díry? Nádoba stojí na vodorovné rovině.

**Úloha VI.4 ... lano**

7 bodů

Přes břevno fotbalové branky (vodorovnou válcovou tyč) přehodíme dlouhé lano. Když bude jeden konec lana právě třikrát delší než druhý (přičemž oba budou viset volně ve vzduchu), lano samovolně sklouzne. Nyní lano kolem břevna jednou obtočíme (čili bude „ohnuté“ o úhel  $540^\circ$ ). Kolikrát teď může být jeden konec delší než druhý, aby lano nesklozlo?

**Úloha VI.5 ... gumová houpačka**

9 bodů

Matěje začaly nudit klasické houpačky, které jsou na dětských hřištích a lze se na nich houpat pouze dopředu a dozadu. Proto vymyslel vlastní atrakci, na které se bude houpat nahoru a dolů. Mezi dva stejně vysoké body ve vzdálenosti  $l$  natáhne gumu s klidovou délkou  $l$ . Následně se pomalu posadí přesně doprostřed gumy, přičemž se její střed vychýlí dolů o vzdálenost  $h$ . Nyní se velmi lehce odstrčí směrem nahoru a začne se houpat. Určete periodu malých kmitů.

**Úloha VI.P ... dálničně-bezpečnostní problém**

10 bodů

- Kolik aut musí projet za jednotku času po silnici či dálnici, aby byla silnice pod auty suchá, pokud prší?
- Kolik aut musí projet za jednotku času po silnici či dálnici, aby na silnici nebyl žádný sníh a led, pokud sněží? Teplota dopadajícího sněhu je konstantní a srovnatelná s okolím, několik málo K pod 0 °C.

Uvažujte, že prší nebo sněží nějaký konstantní objem vody na jednotku plochy za jednotku času.

**Úloha VI.E ... kluzká**

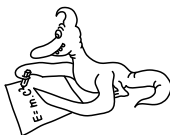
12 bodů

Najděte dvě rovné plochy ze stejného materiálu a změřte, jaký je mezi nimi koeficient tření. Následně zjistěte, jak se tento koeficient změní, když mezi plochy dáte nějakou sypkou nebo kapalnou látku. Můžete použít vše od vody a oleje, přes med a roztavenou čokoládu až po mouku a písek. Měřte pro alespoň 4 různé látky. Hodně pozornosti věnujte diskuzi výsledků a především toho, které vlastnosti použitých látek měly na výsledek největší vliv.

**Úloha VI.S ... opakovacia**

10 bodů

1. Majme klasické matematické kyvadlo, ktoré vychýlime zo stabilnej polohy o  $120^\circ$ . Dĺžka závesu kyvadla je po celý čas konštantá, záves je nehmotný a na jeho konci je upevnený hmotný bod s hmotnosťou  $m$ . Zostavte Lagrangeove rovnice prvého druhu pre kyvadlo a pomocou nich určte, kedy je sila pôsobiaca na vlákno kyvadla najväčšia.
2. Vezmíme klasické kyvadlo, rovnaké ako v prvej časti úlohy. K jeho hmotnému bodu pripevníme ďalšie kyvadlo s rovnakou zavesenou hmotnosťou ako aj rovnakou dĺžkou závesu. Zostavte lagrangián pre túto situáciu a určte aj Lagrangeove pohybové rovnice (2. druhu).
3. Majme hmotný bod, ktorý je schopný sa volne pohybovať v smere osy  $x$ . Ďalej majme matematické kyvadlo, ktorého záves je upevnený v tomto bode. Nájdite lagrangián tejto sústavy a pomocou Hamiltonovej variačnej metódy nájdite príslušné pohybové rovnice tak, že postupne budete Gateauxove derivácie podľa všetkých zovšeobecnených premenných pokladat rovné nule. Celkovo tak každá nulová Gateauxova derivácia dá jednu pohybovú rovnicu. Porovnajte, či ste touto metódou dostali rovnaké pohybové rovnice ako pri použití štandardného odvodenia Lagrangeových rovníc z lagrangiánu.



## Řešení V. série

### Úloha V.1 ... procházka u silnice

3 body; průměr 2,28; řešilo 46 studentů

Matěj jde podél silnice konstantní rychlostí a každých 7 minut potká tramvaj, která jede proti němu. Jednou za 10 minut ho mine tramvaj jedoucí opačným směrem. Tramvaje jezdí v obou směrech se stejnou frekvencí. S jakou?

Matěj se prochází.

Uvažujme, že tramvaje jezdí konstantní rychlostí  $v$  s konstantními dráhovými rozestupy  $s$ . Jejich perioda tedy je

$$T = \frac{s}{v}.$$

Matějovu rychlosť označíme  $u$ . Perioda tramvají jedoucích proti němu bude

$$T_1 = \frac{s}{v+u}. \quad (1)$$

A pro periodu tramvají jedoucích stejným směrem, jako Matěj jde, platí

$$T_2 = \frac{s}{v-u}. \quad (2)$$

Z (1) si vyjádříme Matějovu rychlosť

$$u = \frac{s - T_1 v}{T_1},$$

kterou dosadíme do (2) a dostáváme

$$\begin{aligned} T_2 &= \frac{s}{v - \frac{s - T_1 v}{T_1}}, \\ T_2 \left( 2v - \frac{s}{T_1} \right) &= s, \\ 2vT_2 &= s \left( 1 + \frac{T_2}{T_1} \right), \\ T &= \frac{s}{v} = \frac{2T_2}{1 + \frac{T_2}{T_1}} = \frac{2T_1 T_2}{T_1 + T_2} = 8,24 \text{ min}. \end{aligned}$$

Frekvence tramvají je tedy  $f = \frac{1}{T} \doteq 0,121 \text{ min}^{-1} \doteq 2 \cdot 10^{-3} \text{ s}^{-1}$ . Z výsledného vztahu také vyplývá, že  $f$  je aritmetickým průměrem obou naměřených frekvencí.

*Matěj Mezera  
m.mezera@fykos.cz@fykos.cz*

**Úloha V.2 ... hloubka vniku do koule**

3 body; průměr 2,72; řešilo 32 studentů

Představte si, že máte podchlazenou plnou kovovou homogenní kouli, kterou vytáhnete z mrazáku, který máte nastavený na opravdu nízkou teplotu. Zajímalo by vás, jak rychle se bude zvyšovat její teplota, když ji umístíte do zahřáté místonosti. Protože by to jinak byl vysokoškolský problém, tak jsme pro vás úlohu zjednodušili. Ptáme se na odhad hloubky vniku (v metrech) „teplé oblasti“ do koule, který můžete získat rozměrovou analýzou. Známe relevantní parametry koule, konkrétně hustotu  $[\rho] = \text{kg}\cdot\text{m}^{-3}$ , měrnou tepelnou kapacitu  $[c] = \text{J}\cdot\text{kg}^{-1}\cdot\text{K}^{-1}$  a její součinitel tepelné vodivosti  $[\lambda] = \text{W}\cdot\text{m}^{-1}\cdot\text{K}^{-1}$  a zajímá nás závislost na čase  $[t] = \text{s}$ .

*Karel se inspiroval problémem z Eötvös Competition.*

Zadání je zjednodušením úlohy z jedné maďarské soutěže.<sup>1</sup> Na odkaze uvedeném v poznámce pod čarou naleznete i náznak komplikovanějšího řešení.

Nejdříve poznámenáme něco k rozměrové analýze. Jde o metodu, díky které můžeme někdy z pouhé znalosti jednotek relevantních veličin určit nějakou další veličinu se známou jednotkou. Bohužel pomocí této metody nezjistíme přesný vztah, protože nám zůstane nějaká bezrozměrná multiplikační konstanta, kterou musíme určit buď měřením, nebo poctivým fyzikálním odvozením. Také se tato metoda může hodit v nějakých úlohách FYKOŠu.

Pro zajímavost - ve fyzice se používají také tzv. podobnostní čísla. Zejména v mechanice a dynamice tekutin je známé například Reynoldsovo číslo či Weberovo číslo. Jde o bezrozměrné veličiny, které nám říkají něco o tom, jestli je proudění turbulentní, jak se nám budou formovat bublinky atd. K určení těchto čísel můžeme také použít rozměrovou analýzu s tím, že hledaná veličina má být bezrozměrná.

Nyní k řešení samotné úlohy. Dle předpokladu má pro hloubku vniku  $x$  platit

$$x = C\rho^\alpha c^\beta \lambda^\gamma t^\delta.$$

Rovnici můžeme přepsat do tvaru

$$\begin{aligned} m &= (\text{kg}\cdot\text{m}^{-3})^\alpha \cdot (\text{J}\cdot\text{kg}^{-1}\cdot\text{K}^{-1})^\beta \cdot (\text{W}\cdot\text{m}^{-1}\cdot\text{K}^{-1})^\gamma \cdot \text{s}^\delta = \\ &= (\text{kg}\cdot\text{m}^{-3})^\alpha \cdot (\text{m}^2\cdot\text{s}^{-2}\cdot\text{K}^{-1})^\beta \cdot (\text{kg}\cdot\text{m}\cdot\text{s}^{-3}\cdot\text{K}^{-1})^\gamma \cdot \text{s}^\delta. \end{aligned}$$

Využili jsme vztahy pro přepis jednotek energie a výkonu na základní jednotky SI ( $\text{J} = \text{kg}\cdot\text{m}^2\cdot\text{s}^{-2}$  a  $\text{W} = \text{kg}\cdot\text{m}^2\cdot\text{s}^{-3}$ ). Vzhledem k tomu, že rovnice musí platit i pro rovnosti jednotlivých jednotek, rozepíšeme si ji do soustavy čtyř rovnic pro čtyři neznámé exponenty  $(\alpha, \beta, \gamma, \delta)$ . V pořadí pro jednotky kg, m, s a K to jsou

$$\begin{aligned} 0 &= \alpha + \gamma, \\ 1 &= -3\alpha + 2\beta + \gamma, \\ 0 &= -2\beta - 3\gamma + \delta, \\ 0 &= -\beta - \gamma. \end{aligned}$$

Když soustavu vyřešíme, dostaneme  $\alpha = \beta = -1/2$  a  $\gamma = \delta = 1/2$ , tedy výsledná rovnice pro hloubku vniku je

$$x = C \sqrt{\frac{\lambda t}{c\rho}}.$$

<sup>1</sup>Peter Vankó: *Eötvös Competition - a small competition with great influence*, subkapitola 3.2. Dostupné z [http://eik.bme.hu/~vanko/wfphc/Eotvos\\_comp\\_Vanko\\_paper.pdf](http://eik.bme.hu/~vanko/wfphc/Eotvos_comp_Vanko_paper.pdf).

Tím jsme dostali požadovaný vztah a v rámci toho, že jde o jednoduchou úlohu na rozměrovou analýzu, dále hodnotu konstanty  $C$  neřešíme.

### Komentáře k došlým řešením

Rozmerová analýza je veľmi efektívna metóda pre približný odhad správnosti tvaru výsledku alebo k rýchlej kontrole korektnosti nejakého vzťahu. Stretávame sa s ňou aj v bežnej praxi, nie len počas štúdia, a preto je dobré si ju osvojiť. Nakolko však ide o približný odhad výsledku, nemali by sme zabudnúť, že reálna hodnota sa môže a často aj bude lísiť o nejaký číselný koeficient - bezrozmernú konštantu (jej bezrozmernosť je dôležitá, inak by nám to pokazilo rozmer výsledku). Vzhľadom na zadanie a povahu príkladu sme to však nebrali ako chybu. Viacerí z vás k výsledku prišli porovnaním vzťahov pre výpočet tepla - rovnicou vedenia tepla (niekedy nazývanou aj Fourierov zákon) a vzťahom pre výpočet tepla potrebného na zvýšenie teploty telesa. Tento postup dal pri správnej úprave rovnaký, alebo len o číselný koeficient sa líšiaci výsledok, nie je však úplne fyzikálne správny, nakolko tieto dva vzťahy spolu nutne nemusia súvisiť. Navyše, ide o veľmi velké zjednodušenie celého dejia, ktoré nebolo adekvátne odôvodnené. Pokiaľ ste však aj týmto spôsobom dospeli k správnemu výsledku, nebrali sme to ako chybu.

*Karel Kolář*

*karel@fykos.cz@fykos.cz*

### Úloha V.3 ... přepážka

6 bodů; průměr 4,40; řešilo 45 studentů

Představme si akvárium tvaru krychle o straně  $a = 1\text{ m}$ , které je vertikální přepážkou kolmou na stěny akvária rozděleno na dvě části. Dále uvažujme, že se tato přepážka může volně pohybovat ve směru kolmém na rovinu přepážky, ale ve zbylých dvou směrech se pohybovat nemůže. Také nemůže rotovat. Do jedné části akvária nalijeme  $V_1 = 2001\text{ l}$  vody o hustotě  $\rho_v = 1\,000\text{ kg}\cdot\text{m}^{-3}$  a do druhé části nalijeme  $V_2 = 2301\text{ l}$  oleje o hustotě  $\rho_o = 900\text{ kg}\cdot\text{m}^{-3}$ . Jaká bude rovnovážná pozice přepážky? Jaké budou výšky hladin kapalin v jednotlivých částech akvária v rovnovážném stavu?

*Bonus* Najděte frekvenci malých kmitů kolem rovnovážné polohy. Předpokládejte, že přepážka má hmotnost  $m = 10\text{ oz}$  a že přesun vody probíhá bez jakéhokoli tření a odporu.

*Michal čistil akvárium.*

Označme vzdálenost přepážky od okraje první části  $x$ . Potom voda sahá do výšky

$$y_1 = \frac{V_1}{ax}$$

a olej sahá do výšky

$$y_2 = \frac{V_2}{a(a-x)}.$$

Sílu, kterou kapalina působí na přepážku, spočítáme jako součin tlaku v kapalině a plochy přepážky, v které tento tlak působí. Tlak v kapalině se s hloubkou mění podle vzorce  $p = h\rho g$ , což vede na integrál. Tomu se však můžeme vyhnout, když si uvědomíme, že nižší tlak v horní

polovině přepážky kompenzuje vyšší tlak v dolní polovině.<sup>2</sup> Můžeme tak uvažovat, že na celou přepážku působí stejný průměrný tlak. Pro sílu způsobenou tlakem vody dostáváme

$$F_1 = \frac{1}{2} y_1 \rho_v g a y_1 = \frac{V_1^2 \rho_v g}{2ax^2},$$

zatímco pro sílu způsobenou tlakem oleje platí

$$F_2 = \frac{1}{2} y_2 \rho_o g a y_2 = \frac{V_2^2 \rho_o g}{2a(a-x)^2}.$$

Z podmínky rovnováhy vyplývá rovnost sil, tedy  $F_1(x_0) = F_2(x_0)$ . Odtud dostáváme kvadratickou rovnici

$$\left( \frac{V_2^2 \rho_o}{V_1^2 \rho_v} - 1 \right) x_0^2 + 2ax_0 - a^2 = 0,$$

jejímž řešením je

$$x_0 = \frac{a}{\left( \frac{V_2^2 \rho_o}{V_1^2 \rho_v} - 1 \right)} \left( -1 \pm \frac{V_2}{V_1} \sqrt{\frac{\rho_o}{\rho_v}} \right).$$

Fyzikální smysl má zřejmě kořen s +. Výsledkem úlohy tak je, že přepážka se ustálí ve vzdálenosti

$$x_0 = a \left( \frac{V_2^2 \rho_o}{V_1^2 \rho_v} - 1 \right)^{-1} \left( \frac{V_2}{V_1} \sqrt{\frac{\rho_o}{\rho_v}} - 1 \right) = a \left( \frac{V_2}{V_1} \sqrt{\frac{\rho_o}{\rho_v}} + 1 \right)^{-1} \doteq 48 \text{ cm}$$

od stěny první části akvária. Výšky kapalin obou částech akvária získáme dosazením za  $x$  do prvních dvou rovnic

$$\begin{aligned} y_1 &= \frac{V_1}{ax_0} \doteq 42 \text{ cm}, \\ y_2 &= \frac{V_2}{a(a-x_0)} \doteq 44 \text{ cm}. \end{aligned}$$

### Bonus

Spočítjme potenciální energii soustavy s přepážkou na souřadnici  $x$ . Opět můžeme použít střední hodnotu výšky, ve které se kapaliny nachází. Dostáváme tak

$$V = V_1 \rho_v g \frac{y_1}{2} + V_2 \rho_o g \frac{y_2}{2} = \frac{g}{2a} \left( \frac{V_1^2 \rho_v}{x} + \frac{V_2^2 \rho_o}{a-x} \right).$$

Pro frekvenci malých kmitů kolem rovnovážné polohy  $x_0$  platí

$$f = \frac{1}{2\pi} \sqrt{\frac{V''(x_0)}{m}}.$$

---

<sup>2</sup>Exaktní výpočet by se provedl tak, že  $dF = p(y)a dy$ , odkud vidíme, že se integruje lineární funkce, tedy vznikne faktor 1/2.

Pokud vám tento vzorec přijde cizí, zde je jeho odvození. Potenciál, který nám vyšel, je v okolí rovnovážné polohy zřejmě spojité a nekonečně diferenciovatelná funkce, takže ji můžeme zapsat pomocí Taylorova polynomu

$$V(x) = V(x_0) + V'(x_0)(x - x_0) + \frac{V''(x_0)}{2}(x - x_0)^2 + \frac{V'''(x_0)}{3!}(x - x_0)^3 + \dots$$

Zvolíme-li  $V(x_0)$  jako nulovou hladinu, bude platit  $V(x_0) = 0$ . Dále,  $V'(x_0) = 0$  z definice rovnovážného bodu. Další členy jsou postupně čím dál tím menší (pro  $x$  dostatečně blízká  $x_0$ ), takže s jistou dávkou aproximace můžeme psát

$$V(x) \approx \frac{1}{2}V''(x_0)(x - x_0)^2.$$

Tento vzorec je však velmi podobný vztahu pro potenciál harmonického oscilátoru

$$V(x) = \frac{1}{2}k(x - x_0)^2.$$

Z toho už vidíme, že člen  $V''(x_0)$  hraje roli tuhosti oscilátoru  $k$  a můžeme ho dosadit do známého vzorce

$$f = \frac{1}{2\pi}\sqrt{\frac{k}{m}}.$$

Nyní se vraťme k původnímu příkladu. První derivace potenciálu je

$$\frac{dV}{dx} = \frac{g}{2a} \left( -\frac{V_1^2 \rho_v}{x^2} + \frac{V_2^2 \rho_o}{(a-x)^2} \right),$$

další derivací dostáváme

$$\frac{d^2V}{dx^2} = \frac{g}{a} \left( \frac{V_1^2 \rho_v}{x^3} + \frac{V_2^2 \rho_o}{(a-x)^3} \right).$$

Ted už jen stačí dosadit do vzorce výše a máme výsledek  $f \doteq 25 \text{ Hz}$ .

*Jáchym Bártík*

[tuaki@fykos.cz](mailto:tuaki@fykos.cz) [cz@fykos.cz](mailto:cz@fykos.cz)

## Úloha V.4 ... rozstřík

8 bodů; průměr 2,96; řešilo 26 studentů

Uvažujte volnou kapku vody s poloměrem  $R$ , kterou pomalu nabíjíte elektrickým nábojem. Najděte velikost náboje  $Q$  potřebného na to, aby sa kapka rozstříkla.

*Karel chtěl, aby si pro potkana přišel Smrt. Ivo byl mírumilovnější.*

Uvažujme nejdříve elektricky neutrální vodní kapku nacházející se ve vzduchu. Povrchové napětí lze chápout jako plošnou hustotu povrchové energie, tedy energii povrchové vrstvy kapaliny vztázenou na jednotkovou plochu. To způsobí, že kapka bude mít tendenci zaujmout tvar s nejmenším povrchem, tedy kouli s poloměrem  $R$ . Na kapku působí kapilární tlak  $p_k$  způsobený povrchovým napětím mezi vodou a vzduchem a tlak vzduchu odpovídající atmosférickému tlaku  $p_a$ . Oba tyto tlaky se uvnitř kapky sečtou na výsledný tlak  $p_k + p_a$ . Z Youngovy-Laplaceovy rovnice<sup>3</sup> přímo plyne vztah pro kapilární tlak uvnitř sférické kapky

$$p_k = \frac{2\sigma}{R},$$

<sup>3</sup>Více se o ní můžete dočíst na [https://en.wikipedia.org/wiki/Young-Laplace\\_equation](https://en.wikipedia.org/wiki/Young-Laplace_equation).

kde  $\sigma$  je povrchové napětí mezi vodou a vzduchem.

Nyní nabijeme kapku nábojem  $Q$  tak pomalu, že ji můžeme považovat za vodivou, takže se nanesený náboj prakticky ihned rovnoměrně rozloží po jejím povrchu. Náboj na povrchu kapky vytvoří vně kapky elektrické pole, které bude silově působit na libovolnou malou plošku  $\Delta S$  povrchu kapky a vytvoří tak tlak elektrického pole  $p_E$ .

Pokusme se určit velikost tlaku  $p_E$ . Označme  $\eta$  plošnou hustotu náboje na povrchu kapky, která je rovna

$$\eta = \frac{Q}{4\pi R^2}.$$

Využijeme faktu, že elektrické pole sféricky symetricky rozloženého náboje je vně koule stejně jako elektrické pole bodového náboje  $Q$  umístěného ve středu koule. Naopak uvnitř kapky je elektrické pole nulové, protože se jedná o vodič. Vnější elektrické pole je tedy radiální a pro jeho velikost platí

$$E = \frac{1}{4\pi\epsilon_0} \frac{Q}{r^2}, \quad (3)$$

kde  $r > R$  je vzdálenost od středu kapky a  $\epsilon_0$  je permitivita vakua. Pro výpočet tlaku  $p_E$  potřebujeme zjistit, jakou silou působí elektrické pole na malou plošku  $\Delta S$  s nábojovou hustotou  $\eta$ . Komplikace je v tom, že do výsledného elektrického pole přispívá i náboj na malé ploše  $\Delta S$ , jehož příspěvek musíme odečíst. Zajímá nás totiž, jakou silou působí na náboj na malé ploše  $\Delta S$  elektrické pole od zbytku koule.

Využijeme principu superpozice. Označme  $E_{\Delta S}$  velikost elektrické intenzity způsobené nábojem na malé ploše  $\Delta S$  v blízkosti této plošky. Vektor elektrické intenzity je zřejmě kolmý na rovinu plošky a míří směrem od povrchu této plošky (uvnitř koule směřuje do středu a vně koule směřuje od středu koule). Důležité je, že toto pole je v obou případech stejně velké. Elektrické pole nábojů na zbylé části koule uvažujeme v blízkosti plošky konstantní s velikostí  $E'$ . Uvnitř i vně má stejnou velikost a směřuje od středu koule. Teď využijeme toho, že výsledná elektrická intenzita uvnitř koule je nulová,

$$E' - E_{\Delta S} = 0.$$

Velikost výsledného pole nad ploškou je potom  $E' + E_{\Delta S} = 2E_{\Delta S} = 2E'$ . Srovnáním s rovnicí (3) dostaváme

$$2E' = \frac{1}{4\pi\epsilon_0} \frac{Q}{R^2},$$

odkud jednoduchou úpravou získáme explicitní vztah pro výpočet velikosti elektrického pole od zbytku koule v oblasti plošky  $\Delta S$ ,

$$E' = \frac{1}{8\pi\epsilon_0} \frac{Q}{R^2}.$$

Tlak elektrického pole již spočítáme snadno jako podíl velikosti síly působící na náboj na malé ploše a velikosti dané plošky

$$p_E = \frac{E' \eta \Delta S}{\Delta S} = \frac{1}{32\pi^2\epsilon_0} \frac{Q^2}{R^4}.$$

Uvědomme si, že  $p_E$  má opačný směr než kapilární tlak, neboť se souhlasné náboje v kapce zřejmě odpuzují. Podmínka rozstřiku kapky je

$$p_E = p_k + p_a,$$

$$\frac{1}{32\pi^2\epsilon_0} \frac{Q^2}{R^4} = \frac{2\sigma}{R} + p_a.$$

Odtud si už snadno vyjádříme velikost potřebného náboje

$$|Q| = 4\pi R^2 \sqrt{2\varepsilon_0} \sqrt{\frac{2\sigma}{R} + p_a}.$$

Ještě dodejme, že v zadání nebylo přímo řečeno, abychom úlohu řešili v zemské atmosféře za normálních podmínek. Proto připouštíme řešení nabité kapky ve vakuu, které je o něco jednodušší. Řešení úlohy ve vakuu dostaneme tak, že položíme atmosférický tlak roven nule, neboli dostaváme rovnost

$$|Q| = 8\pi \sqrt{\sigma \varepsilon_0 R^3},$$

Úlohu lze také řešit vysokoškolským přístupem za použití Gaussova zákona pro tok elektrického pole uzavřenou plochou ve tvaru

$$\oint_S \mathbf{E} \cdot \mathbf{n} \, dS = \frac{Q}{\varepsilon_0},$$

kde  $\mathbf{n}$  je jednotkový vnější normálový vektor k nějaké uzavřené ploše a  $Q$  je celkový náboj uvnitř této plochy. Aplikací Gaussova zákona na povrch nabité kapky dostaváme rovnost

$$4\pi R^2 E = \frac{Q}{\varepsilon_0},$$

odkud pro velikost výsledného elektrického pole plyne

$$E = \frac{1}{4\pi\varepsilon_0} \frac{Q}{R^2},$$

což je ve shodě s rovnicí (3) pro  $r = R$ . Abychom mohli odečít od výsledného elektrického pole příspěvek od náboje na malé ploše  $\Delta S$ , potřebujeme určit jeho velikost. Opět vyjdeme z Gaussova zákona. Uvažujme malý váleček obkloupující na povrchu kapky právě plošku  $\Delta S$  tak, že je jeho osa rovnoběžná s normálovým vektorem na ploše  $\Delta S$  (míří v rádiálním směru). Z Gaussova zákona plyne, že tok intenzity elektrického pole povrchem válečku je roven celkovému náboji uvnitř válečku vydělenému konstantou  $\varepsilon_0$ . Tok pláštěm je zanedbatelný, protože výšku válečku můžeme uvažovat libovolně malou. Zbývá tedy tok podstavami, pro který platí

$$2\Delta S E_{\Delta S} = \frac{\eta \Delta S}{\varepsilon_0}.$$

Jednoduchou úpravou získáme rovnici

$$E_{\Delta S} = \frac{\eta}{2\varepsilon_0} = \frac{Q}{8\pi\varepsilon_0 R^2}.$$

Velikost elektrického pole  $E'$  v okolí plošky vypočteme podobně jako v první části

$$E' = E - E_{\Delta S} = \frac{1}{8\pi\varepsilon_0} \frac{Q}{R^2}.$$

Velikosti elektrických polí, které jsme spočítali pomocí Gaussova zákona, se shodují s již dříve získanými výsledky. K řešení úlohy bychom dále došli stejnými úvahami jako v první části.

**Komentář k došlým řešením**

Řada řešitelů se pokusila úlohu vyřešit užitím povrchové energie a energie elektrostatického pole. Chybně se však domnívala, že k rozstříknutí kapky dojde v okamžiku, kdy si budou dané energie rovny.

Úloha se dá řešit přes energie tak, že nejdříve nalezneme celkovou energii tvořenou energií elektrostatického pole a povrchovou energií, která je rovna

$$E_{\text{net}} = \frac{1}{8\pi\epsilon_0} \frac{Q^2}{R} + 4\pi\sigma R^2.$$

Celková energie připadající na malou část kapky vyňaté malým prostorovým úhlem  $\Omega$  je pak rovna

$$E_\Omega = \frac{E_{\text{net}}}{\Omega} = \frac{1}{8\pi\epsilon_0\Omega} \frac{Q^2}{R} + \frac{4\pi}{\Omega}\sigma R^2. \quad (4)$$

Sílu působící na tuto plošku určíme jako zaporně vzatý gradient energie  $E_\Omega$ ,

$$\mathbf{F}_\Omega = -\text{grad } E_\Omega \equiv -\nabla E_\Omega,$$

což je ve sférických souřadnicích pro sféricky symetrický problém rovno

$$\mathbf{F}_\Omega = -\frac{\partial E_\Omega}{\partial R} \mathbf{e}_R, \quad (5)$$

kde  $\mathbf{e}_R$  je jednotkový radiální vektor (ve směru souřadnice  $R$ ). Dosazaním výrazu pro energii  $E_\Omega$  z rovnice (4) do rovnice (5) a zderivováním dostaneme

$$\mathbf{F}_\Omega = \left( -\frac{8\pi\sigma R}{\Omega} + \frac{1}{8\pi\epsilon_0\Omega} \frac{Q^2}{R^2} \right) \mathbf{e}_R.$$

K rozstříknutí kapky pak dojde, bude-li síla  $\mathbf{F}_\Omega$  směřovat vně kapku, neboli

$$-\frac{8\pi\sigma R}{\Omega} + \frac{1}{8\pi\epsilon_0\Omega} \frac{Q^2}{R^2} \geq 0.$$

V mezním případě dostáváme pro velikost náboje  $Q$  rovnost

$$|Q| = 8\pi\sqrt{\sigma\epsilon_0 R^3},$$

což je minimální velikost náboje potřebná pro rozstříknutí kapky.

**Václav Mikeska**  
v.mikeska@fykos.cz@fykos.cz

**Úloha V.5 ... odskakující hopík**

9 bodů; průměr 5,32; řešilo 19 studentů

Tuhou koulí ve vzduchu roztočíme dostatečně velkou úhlovou rychlosť  $\omega$  rovnoběžnou se zemí. Poté hopík pustíme z výšky  $h_0$  na vodorovnou podložku. Od ní se odrazí do výšky  $h_1$  a dopadne nedaleko původního místa dopadu. Určete vzdálenost těchto dvou bodů dopadu, jestliže je třecí koeficient mezi koulí a zemí  $f$  dostatečně malý.

Matěj si moc rád hraje s hopíkem.

Z rovnic pro volný pád  $h = \frac{1}{2}gt^2$  a  $v = gt$  dostaneme rychlosť  $v_0$ , ktorou koule dopadne na zem

$$v_0 = \sqrt{2h_0g}.$$

Koule dopadá priamo svisle, ale po odrazu bude mít tak ako svislou složku rychlosť  $v_y$ , tak vodorovnou složku  $v_x$  díky tření. Velikost  $v_y$  je taková, aby koule vyskočila do výšky  $h_1$ , tedy

$$v_y = \sqrt{2h_1g},$$

Předpokládejme, že srážka trvá velmi malý čas  $\Delta t = t_1 - t_0$ . Hybnost ve svislém směru se během nárazu změní o

$$\Delta p_y = m(v_0 + v_y).$$

Protože změna hybnosti je rovna impulzu síly, můžeme říct, že pro svislou sílu  $F_y$  působící na kouli v průběhu nárazu platí

$$\Delta p_y = \int_{t_0}^{t_1} F_y dt,$$

kde síla může být obecně závislá na průběhu srážky, tedy na času  $t$ . Horizontální třecí síla, která působí mezi koulí a deskou, je v každém okamžiku  $F_x = fF_y$ . Ze zadání vyplývá, že můžeme předpokládat, že třecí síla je tak malá, že nezastaví rychlou rotaci koule a ta tak během celé srážky neustále prokluzuje. Z toho si vyjádříme změnu hybnosti ve vodorovném směru

$$\Delta p_x = \int_{t_0}^{t_1} F_x dt = \int_{t_0}^{t_1} fF_y dt = f \int_{t_0}^{t_1} F_y dt = f\Delta p_y.$$

Všimněme si, že jsme se nyní kompletně zbavili závislosti síly  $F_y$  na čase a také času  $\Delta t$ , který již ani není potřeba limitně zmenšovat k nule. V tomto triku spočívála veškerá záladnost této úlohy. Dále vyjádříme rychlosť ve vodorovném směru v okamžiku po odrazu

$$v_x = \frac{\Delta p_x}{m} = \frac{f\Delta p_y}{m} = f(v_0 + v_y).$$

Díky znalosti výšky  $h_1$  jsme snadno schopni dopočítat, že celý skok koule (od prvního do druhého dopadu) trval čas

$$t = 2\sqrt{\frac{2h_1}{g}}.$$

Kombinací s  $v_x$  získáme doskočenou vzdálenost

$$s = v_x t = 2f(v_0 + v_y) \sqrt{\frac{2h_1}{g}} = 2f \left( \sqrt{2h_0g} + \sqrt{2h_1g} \right) \sqrt{\frac{2h_1}{g}} = 4f(h_1 + \sqrt{h_0h_1}).$$

Je pozoruhodné, že výsledek nezávisí na momentu hybnosti koule, na gravitačním zrychlení a dokonce ani na počáteční úhlové rychlosťi  $\omega$  (pokud je dostatečně velká). Samozřejmě jen za docela silného předpokladu, že třecí koeficient je tak malý, že koule během dopadu prokluzuje.

**Úloha V.E ... třiceticentimetrový tón** 12 bodů; průměr 5,96; řešilo 23 studentů

Každý někdy z nudy zkoukal na dlouhé pravítko vystrčené přes okraj lavice. Zvolte vhodný model závislosti frekvence na délce vysunutí za okraj lavice a experimentálně jej ověřte. Popište i další parametry pravítka.

Poznámka Pravítko ke stolu přitlačte tak, aby kmitala jen jeho vysunutá část.

Michal K. našel pravítko.

## Teória

Po krátkom zmyslení sa nad problémom si môžeme uvedomiť, že rovnaký vzťah ako pre kmitajúce pravítko platí aj pre ladičku či konzolový nosník. Napríklad na<sup>4</sup> môžeme nájsť hľadaný vzťah závislosti uhlovej frekvencie  $\omega$  kmitov na dĺžke vysunutia  $L$  pravítka

$$\omega_n = \alpha_n^2 \sqrt{\frac{EI}{\rho AL^4}},$$

kde  $E$  je Youngov modul pružnosti a  $\rho$  hustota materiálu, z ktorého je pravítko zhotovené,  $A$  je plocha kolmého prierezu pravítka,  $I$  je moment zotrvačnosti prierezu pravítka a  $\alpha_n = \{1,875; 4,694; 7,885; \dots\}$  je číselná konštantá zodpovedajúca módum kmitov. Pre  $I$  podľa článku máme

$$I = \frac{bd^3}{12},$$

kde  $b$  je šírka a  $d$  je hrúbka pravítka. Pre frekvenciu kmitov potom máme

$$f = \frac{\omega}{2\pi} = \frac{\alpha_n^2}{4\pi} \sqrt{\frac{Ed^2}{3\rho L^4}}.$$

Frekvencia by teda na dĺžke vysunutia mala závisť ako  $f \propto L^{-2}$ .

## Meranie

Pri meraní bolo použité pravítko s „dĺžkou“ 30 cm šírky  $s = (3,6 \pm 0,1)$  cm, hrúbky  $d = (1,9 \pm 0,1)$  mm a hmotnosti  $m = (23 \pm 1)$  g. Pri meraní sme ho položili na stôl tak, aby sa hrana stola nachádzala na dĺžke  $\tilde{l}$  stupnice, kde nula stupnice bola mimo stola. Vzdialenosť nuly stupnice od konca pravítka bola určená ako  $\Delta l = (1,1 \pm 0,1)$  cm. Na stôl sme následne položili závažie (knihy), ktorého hrana koincidovala s hranou stola, čím sme pravítku v oblasti nad stolom zamedzili pohyb. Celkovovo odhadujeme chybu merania dĺžky voľne kmitajúcej vysunutej časti pravítka na  $\tilde{l} = \tilde{l} + \Delta l$  na  $\sigma_{\tilde{l}} = 1,5$  mm.

Meranie samotné sme vykonali pomocou programu *Audacity* a mikrofónu na počítači, ktorý sme umiestnili tesne pod pravítko k hrane stola. Zaznamenávali sme teda zvuk úderov kmitajúceho pravítka do stola. Zo získaného záznamu intenzity na čase sme odčítali čas  $t$  medzi  $n$  po sebe idúcimi nárazmi, z čoho sme určili periódu kmitov ako  $T = t/n$ . Pre každú dĺžku vysunutia boli vykonané štyri merania. Namerané hodnoty sú zanesené do tabuľky 1 spolu s vypočítanými priemernými hodnotami períody  $\bar{T}$  a jej štandardnou odchýlkou  $\sigma_{\bar{T}}$ .

<sup>4</sup><http://vlab.amrita.edu/?sub=3&brch=175&sim=1080&cnt=1>

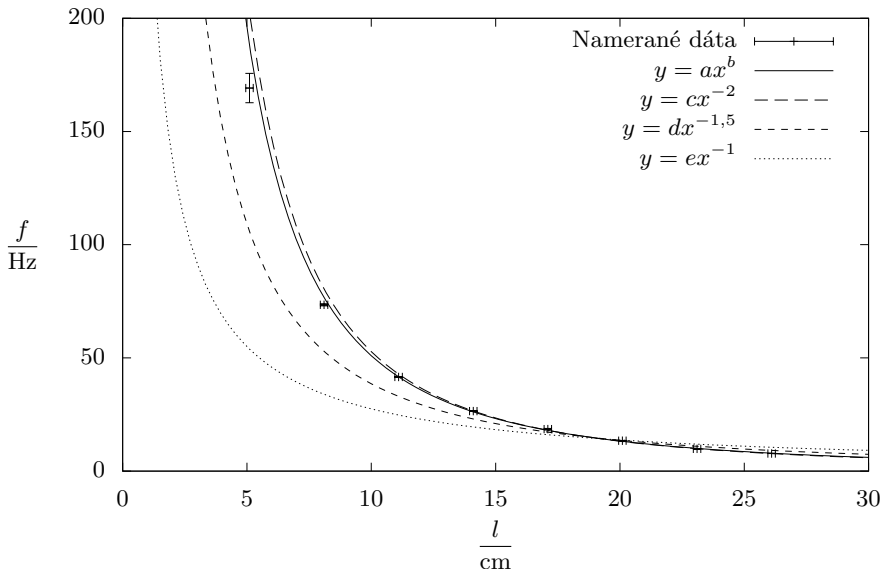
Tab. 1: Namerané periody kmitov pravítka.

$\tilde{l}$	$l$	$n$	$t$	$T$	$\bar{T}$	$\sigma_{\bar{T}}$
cm	cm		ms	ms	ms	ms
25,0	26,1	9	1157	128,6	128,4	0,4
		7	898	128,3		
		8	1031	128,9		
		9	1151	127,9		
22,0	23,1	5	517	103,4	101,5	1,3
		7	708	101,1		
		3	303	101,0		
		9	905	100,6		
19,0	20,1	4	301	75,3	74,4	0,7
		4	299	74,8		
		1	74	74,0		
		3	221	73,7		
16,0	17,1	5	273	54,6	53,8	0,8
		16	849	53,1		
		13	693	53,3		
		5	272	54,4		
13,0	14,1	14	526	37,57	37,73	0,15
		14	527	37,64		
		6	227	37,83		
		9	341	37,89		
10,0	11,1	21	504	24,00	24,04	0,11
		17	411	24,18		
		18	433	24,06		
		25	598	23,92		
7,0	8,1	18	246	13,67	13,62	0,09
		18	244	13,56		
		19	257	13,53		
		14	192	13,71		
4,0	5,1	24	143	5,96	5,9	0,2
		11	68	6,18		
		22	129	5,86		
		22	124	5,64		

Z periód kmitov bola určená ich frekvencia ako

$$f = \frac{1}{T},$$

$$\sigma_f = \frac{\sigma_T}{T^2},$$



Obr. 1: Závislosť frekvencie  $f$  kmitov pravítka na dĺžke vysunutia  $l$ .

ktoréj závislosť bola vynesená do grafu 1. Týmto bodmi boli pomocou metódy najmenších štvorcov preložené nasledujúce závislosti

$$\begin{aligned}y_1 &= ax^b, \\y_2 &= cx^{-2}, \\y_3 &= dx^{-1.5}, \\y_4 &= ex^{-1},\end{aligned}$$

kde za  $x$  bola braná *dĺžka v centimetroch* a *y frekvencia v kilohertzoch*. Prvý fit vyjadruje všeobecný tvar hľadanej závislosti, druhá závislosť je závislosť nášho modelu, tretia a štvrtá sú pre porovnanie závislosti, ktoré sa objavovali v prišlých riešeniach. Hodnoty parametrov boli určené nasledovne

$$\begin{aligned}a &= 4,44 \pm 0,36, \\b &= -1,94 \pm 0,03, \\c &= 5,28 \pm 0,06, \\d &= 1,22 \pm 0,07, \\e &= 0,275 \pm 0,04.\end{aligned}$$

Vhodnosť fitu sa dá popísat napríklad pomocou  $RMS$ , strednej hodnoty kvadrátu reziduú, tj. odchýlok nameraných hodnôt od fitu. Pre prvú závislosť  $RMS = 1,392$ , pre druhú  $RMS = 1,56$ , tretiu  $RMS = 10,7$  a štvrtú  $RMS = 33$ .

## Diskusia

Z hodnôt  $RMS$ , ale aj z grafu samotného, vidíme, že za správne sa dajú pokladať prvé dve závislosti. Exponent  $b$  prejá závislosť je ale značne nefyzikálny, preto ako správnu volíme druhú závislosť. Pre koeficient  $c$  máme po prevode do základných jednotiek  $c = (0,528 \pm 0,006) \text{ m}^2\cdot\text{Hz}$ . Po porovnaní so vzťahom z teoretického úvodu by malo platiť

$$c_{\text{teor}} = \frac{1,875^2}{4\pi} \sqrt{\frac{Ed^2}{3\rho}}.$$

PVC, z ktorého je pravítko zhotovené, má modul pružnosti  $E = 2,2 - 3,3 \text{ GPa}$  a hustotu<sup>5</sup>  $\rho = 1,15 - 1,64 \text{ kg}\cdot\text{m}^{-3}$ . Z rozmerov pravítka a jeho hmotnosti vychádza hustota ako  $\rho = (1280 \pm 90) \text{ kg}\cdot\text{m}^{-3}$ . Po dosadení krajných hodnôt dostávame  $c_{\text{teor}} = 0,36 - 0,53 \text{ m}^2\cdot\text{Hz}$ , teda nameraná hodnota zodpovedá PVC s vysokým Youngovym modulom, nízkou hustotou a hrubšiemu pravítku.

Nami nameraná závislosť je teda celkom dobre popísaná teoretickým modelom, no ako si z grafu môžeme všimnúť, pre malé dĺžky vysunutia teoretická závislosť neprechádza nameranými hodnotami. Toto môže byť spôsobené javmi odohrávajúcimi sa na hrane stola a pod závažím, ktoré by sa dali odstrániť pevnnejším uchytením, čo by ale zamedzilo vzniku zvuku, pomocou ktorého sme závislosť merali. Lepšie uchytenenie by znížilo aj chybu určenia  $l$ . Frekvencia kmitov sa dala merať s pomerne vyššou presnosťou. Pri určení teoretickej hodnoty konštanty  $c$  spôsobuje veľký problém značný rozptyl hustôt a Youngových modulov PVC. Tento problém by sa dal vyriešiť zmeraním týchto veličín priamo pre pravítko.

## Záver

Závislosť frekvencie kmitov pravítka  $f$  na dĺžke jeho vysunutia  $l$  sme určili ako

$$f = \frac{c}{l^2},$$

$$c = (0,528 \pm 0,006) \text{ m}^2\cdot\text{Hz},$$

čo sa zhoduje s teoretickou závislosťou

$$f = \frac{1,875^2}{4\pi} \sqrt{\frac{Ed^2}{3\rho L^4}},$$

pre základný mód kmitov.

## Poznámky k dosým řešením

Veľká väčšina z vás, ktorí úlohu merali pomocou zvukového záznamu, sa snažila určiť frekvenciu kmitov zo spektra, ktoré program *Audacity* ponúkal. Avšak pri predvolenom nastavení sa frekvencie, s ktorými pravítko kmitá, ani nezobrazujú. V prípade, ak sa nastaví väčší frekvenčný rozsah, je možné frekvencie určiť aj zo spektra. Vzhľadom na malý počet zachytených periód je však signál pomerne slabý a široký. Preto bolo vhodnejšie frekvenciu odčítať priamo z intenzitnej závislosti. Mnohých z vás ale v spektre zvidiel najvýreznejší signál, často pri frekvencii v stovkách hertzov, z ktorého ste zostavili hľadanú závislosť. Tento signál ale zjavne

<sup>5</sup>WolframAlpha

nepochádza od veľkých, okom viditeľných kmitov pravítka (Vedť kto vidí okom 100 Hz?), ale od iného vlnenia, pravdepodobne zvuku po údere pravítka do hrany stola. Je zrejmé, že takýmto riešeniam som nemohol udeliť veľa bodov.

Niektoří sa tomuto problému vyhli a merali pomocou videozáznamu, ktorý však neumožňoval meranie pre malé vysunutia.

Zaujímavé boli aj rôzne teoretické modely. Od konštantnej rýchlosťi šírenia impulzu ( $f \propto l^{-1}$ ), cez úvahy s priebyhom nosníka, ktoré často viedli na  $f \propto l^{-1.5}$  až po správnu závislosť  $f \propto l^{-2}$ . Graf v riešení som okrem všeobecnej mocninej závislosti preto na ukážku preložil aj týmito závislosťami. Zaujímavé ale boli najmä tvrdenia riešiteľov, ktorým exponent mocninného fitu vyšiel okolo  $-1,75$ , že tým potvrdili predpokladanú závislosť, či už  $f \propto l^{-1.5}$ , alebo  $f \propto l^{-2}$ . Záverom, ak niečo nameriate, je vhodné si rozmyslieť, či získaný výsledok dáva fyzikálne zmysel.

*Jozef Lipták*

liptak.j@fykos.cz@fykos.cz

### Úloha V.S . . . nebesko-mechanická

10 bodů; průměr 4,07; řešilo 14 studentů

1. Mějme nějaké kosmické těleso s hmotností pěti Sluncí, okolo kterého se nachází sféricky symetrický homogenní oblak plynu a prachu s hmotností dvou Sluncí a s průměrem 1 ly. Oblak začne kolabovat do centrálního kosmického tělesa. Zanedbejte vzájemnou interakci částic oblaku (kromě gravitace). Určete, jak dlouho bude trvat, než celý oblak zkoluje do centrálního tělesa. Úlohu řešte numericky.
2. V úvodu seriálu jsme řešili diferenciální rovnici pro pohyb částic v centrálním poli, při jejímž řešení jsme použili takzvaný Binetův vzorec. Ukažte, že tento vzorec skutečně řeší zadanou diferenciální rovnici.
3. Sestavte lagrangián pro soustavu Slunce-Země-Měsíc. Předpokládejte, že Slunce je nehybné. Země i Měsíc se pohybují jak pod vlivem Slunce, tak pod vlivem sebe navzájem. Při sestavování lagrangiánu se zamyslete nad tím, jestli používáte správný počet zobecněných souřadnic.
  
1. Predstavovať si celú situáciu budeme tak, že máme nejaký malý kúsok hmoty na okraji oblaku. Tento kúsok hmoty je pritahovaný gravitáciou centrálneho telesa, ako aj gravitáciou zvyšku mraku. Kedže mrak je sféricky symetrický a homogénny, má tažisko vo svojom strede, teda v centrálnom hmotnom telese. Celý oblak vieme teda nahradiť hmotným bodom umiestneným v jeho tažisku. (K tomuto predpokladu stačí sférická symetria, teda aj ak sa počas pohybu bude homogenita meniť, naša úvaha platí.) Z hľadiska malého kúsku hmoty na okraji oblaku je teda problém rovnaký ako keby sa pohyboval v centrálnom poli jedného hmotného bodu o hmotnosti 7 hmotností Slnka. V tomto prípade môžme preto použiť 3. Keplerov zákon.  
Kúsok hmoty sa teda bude podľa prvého keplerovho zákona pohybovať po elipse s ohniskom v centrálnom telese. Kedže má ale nulovú počiatočnú rýchlosť a pôsobí naň sila smerom do stredu, elipsa sa nám zredukuje na úsečku, ktorej ohniská budú na jej koncoch. Períoda „obehu“ nášho kúska hmoty bude podľa tretieho Keplerového zákona

$$T = \sqrt{\frac{4\pi^2 (0,25 \text{ ly})^3}{7GM_S}},$$

kde  $M_S$  je hmotnosť Slnka. Nesmieme samozrejme zabudnúť, že kedže priemer oblaku je jeden svetelný rok a tátô elipsa (zredukovaná na úsečku) má pol svetelného roka, tak potom je jej veľká poloos len štvrtina svetelného roka.

Polovica takto vypočítanej periódy je potom čas, ktorý zaberie kúsku hmoty dostať sa k centrálnemu telesu. Pre zadané hodnoty tento čas výjde 376 000 rokov.

#### Poznámka

Vzhľadom na to, že celý oblak má na počiatku obrovský priemer by sa mohlo zdáť, že bude hrať rolu konečná rýchlosť šírenia svetla, kedže sa gravitačné účinky šíria práve touto rýchlosťou. Častica na okraji oblaku teda zistí až o rok, že sa častica na druhej strane pohla. Kedže z výpočtu vychádza celkový čas pozorovaného deju v stotisícoch rokov, môžeme oproti tomu 1 rok bezpečne zanedbať a pri riešení neuvažovať. Taktiež netreba uvažovať relativistické javy spôsobené veľkou rýchlosťou pohybu, ktoré budú mať vplyv v posledných fázach kolapsu, ktoré ale tvoria zanedbatelnú časť celého procesu. Z toho istého dôvodu sme pri výpočte zanedbali aj rozmer centrálneho objektu.

2. Pri dôkaze budeme postupovať vcelku priamočiaro. Vezmeme želanú diferenciálnu rovnicu

$$\dot{r}^2 = \frac{2}{m} \left( E - V(r) - \frac{l^2}{2mr^2} \right)$$

a miesto premennej  $r(\varphi)$  dosadíme premennú  $u(\varphi)$ , kde  $r = u^{-1}$  ako bolo uvedené v texte seriálu. Dosadením vyjadríme diferenciálnu rovnicu pomocou novej premennej

$$\left( \frac{d}{dt} u^{-1} \right)^2 = \frac{2}{m} \left( E - V(u) - \frac{l^2}{2m} u^2 \right).$$

Prederivujeme ľavú stranu podľa času. Nesmieme zabudnúť, že  $u$  je funkciou  $\varphi$  a to je funkciou  $t$ , tj.  $u(\varphi(t))$ . Dostaneme

$$\left( -\frac{1}{u^2} \frac{\partial u}{\partial \varphi} \dot{\varphi} \right)^2 = \frac{2}{m} \left( E - V(u) - \frac{l^2}{2m} u^2 \right).$$

Za  $\dot{\varphi}$  dosadíme vzťah zákona zachovania momentu hybnosti  $\dot{\varphi}mr^2 = l$  (toto bola prvá triková časť úlohy), vďaka čomu sa nám pokráti  $u^2$  v menovateli a už po umocnení ľavej strany dostaneme

$$\left( \frac{\partial u}{\partial \varphi} \right)^2 \frac{l^2}{m^2} = \frac{2}{m} \left( E - V(u) - \frac{l^2}{2m} u^2 \right).$$

Po vykrátení konštánt a preusporiadanie členov dostaneme

$$\left( \frac{\partial u}{\partial \varphi} \right)^2 + u^2 = \frac{2m}{l^2} (E - V(u)).$$

Teraz prichádza druhá triková časť. Vieme, že na pravej strane chceme dostať deriváciu  $V$  a na ľavo chceme mať druhú deriváciu  $u$ . Preto nás môže rýchlo napadnúť skúsiť prederivovať celú rovnicu podľa  $\varphi$ . Po prederivovaní dostaneme

$$2 \frac{\partial u}{\partial \varphi} \frac{\partial^2 u}{\partial \varphi^2} + 2u \frac{\partial u}{\partial \varphi} = -\frac{2m}{l^2} \left( \frac{\partial V}{\partial u} \frac{\partial u}{\partial \varphi} \right).$$

Všimneme si, že derivácie  $u$  podľa  $\varphi$  sa vyskytuje v každom člene, preto môžeme tento člen z rovnice spolu s dvojkami vykrátiť, vďaka čomu dostaneme nami hľadaný Binetov vzorec

$$\frac{\partial^2 u}{\partial \varphi^2} + u = -\frac{m}{l^2} \frac{\partial V}{\partial u}.$$

3. Určite existuje mnoho spôsobov, ako zvoliť súradnice tak, aby sme dostali správny lagrangián. Dôležité je, aby vo výslednom lagrangiáne vystupovalo minimálny potrebný počet zo všeobecnených súradníc. V tomto vzorovom riešení zvolíme také zovšeobecnené súradnice, ktoré sme použili aj pri riešení problému dvoch telies. Tentokrát vlastne riešime takisto len pohyb dvoch telies, ale v nejakom potenciálovom poli budenom tretím telesom (Slnkom), ktoré je nehybné v dôsledku toho, že má rádovo vyššiu hmotnosť, a teda sa vplyvom ostatných dvoch telies zdanivo nepohybuje. Prvými súradnicami budú  $R$  a  $k$  nemu prislúchajúca uhlová súradnica  $\varphi_R$  vyjadrujúca polohu tažiska sústavy Zem-Mesiac voči Slnku. Druhou bude  $r$  a  $k$  nemu prislúchajúca uhlová súradnica  $\varphi_r$  udávajúca polohu Zeme, re spektívne Mesiaca voči tažisku sústavy Zem-Mesiac, pričom samotná súradnica  $r$  udáva vzdialenosť Zeme a Mesiaca. Kinetická energia takejto sústavy bude potom mať rovnaký tvar ako kinetická energia pri probléme dvoch telies po zavedení obdobných súradníc. (Zmysel tohto príkladu bolo aj to, aby ste využili už predpočítané vzťahy pre problém dvoch telies. Samozrejme sa na to dalo ísť aj ináč.) Preto

$$T = \frac{1}{2}\mu(\dot{r}^2 + r^2\dot{\varphi}_r^2) + \frac{1}{2}(m_z + m_M)(\dot{R}^2 + R^2\dot{\varphi}_R^2),$$

kde  $\mu = \frac{m_z m_M}{m_z + m_M}$  je redukovaná hmotnosť. Pridanou hodnotou tohto príkladu je spočítať, ako bude vyzerať potenciál. Ten sa bude skladat z dvoch častí. Prvou je potenciálna energia Mesiaca a Zeme, ktorá je rovnako ako v prvom príklade

$$V = -\frac{G m_z m_M}{r},$$

kde  $m_M$  a  $m_z$  sú hmotnosti Mesiaca a Zeme. Jedná sa o klasický stredoškolský potenciál dvoch hmotných bodov vo vzdialosti  $r$ . Čo sa týka potenciálu Zemi a Mesiaca voči Slnku, vieme si to predstaviť tak, že ich spoločný potenciál bude rovný potenciálu ich tažiska. Analogicky postupujeme napríklad keď počítame potenciálnu energiu napríklad človeka voči Zemi. Človeka ako súbor hmotných bodov si predstavíme ako jediný hmotný bod umiestnený v jeho tažisku. Preto bude potenciál Zeme a Mesiaca

$$V = -\frac{G(m_z + m_M)M_S}{R}.$$

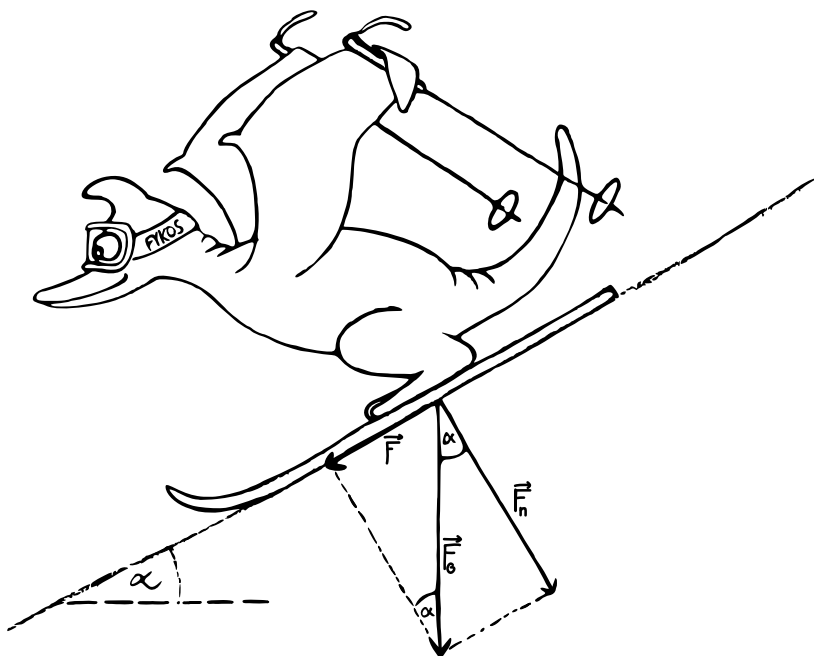
Je zásadné si ale uvedomiť, že táto analógia nie je celkom správna. Teleso na Zemi môže mať nahtadiť hmotným bodom čisto z dôvodu (takmer) homogénneho gravitačného poľa. V tomto prípade je tažisko ako výsledné pôsobisko gravitačných sôl zhodné s hmotným stredom telesa. V nehomogénnom gravitačnom poli (napríklad v našom centrálnom poli Slnka) sú však tažisko a hmotný stred v rôznych bodoch. Ak ale uvážime, že vzdialenosť  $R$  je o veľa väčšia ako vzdialenosť  $r$ , môžeme pole v okolí Zeme aproximovať homogénym polom. To nám dáva hľadaný lagrangián sústavy

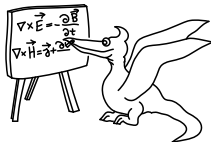
$$\begin{aligned} L = & \frac{1}{2}\mu(\dot{r}^2 + r^2\dot{\varphi}_r^2) + \frac{1}{2}(m_z + m_M)(\dot{R}^2 + R^2\dot{\varphi}_R^2) + \\ & + \frac{G m_z m_M}{r} + \frac{G(m_z + m_M)M_S}{R}. \end{aligned}$$

V prípade bez tejto aproximácie by sme dostali tri potenciálové členy pre tri dvojice objektov. Tento presný lagrangian by nám poskytol napríklad vplyv slapových súl Slnka na sústavu Zem-Mesiaca.

*Jakub Jambrich*

[jakubj@fykos.cz](mailto:jakubj@fykos.cz)





## Seriál: Variační počet

Okrem Lagrangeovho formalizmu je ďalším pilierom, na ktorom stojí teoretická mechanika Hamiltonov formalizmus. V tomto seriáli sa nebude venovať Hamiltonovmu formalizmu. Dôvod, prečo ho ale vôbec spomínam, je ten, že sa bude venovať niečomu, čo je akýmsi medzistupňom medzi Lagrangeovým a Hamiltonovým formalizmom. Tým je Hamiltonov variačný princíp. K pochopeniu Hamiltonovho variačného princípu ale budete potrebovať vedieť, čo je to Variačný počet a ako sa s ním pracuje. Pustime sa teda do toho.

### Variačný počet

V roku 1696 Johann Bernoulli v časopise *Acta Eruditorum* sformuloval matematickú výzvu o nájdenie krivky spájajúcej dva body (neležiace v jednej horizontálnej ani vertikálnej rovine) tak, aby sa po nej pohybujúci hmotý bod v homogénnom tiažovom poli bez trenia dostal z jedného bodu do druhého za najkratší čas. Z toho je odvodený aj názov úlohy *Brachystochrona*, čo je z gréckych slov *brachystos* = najkratší a *chronos* = čas.

Výzvu Johanna Bernoulliho prijalo mnoho matematikov, medzi inými aj Newton, Huygens či Leibnitz, a všetci, ktorí na výzvu odpovedali, ju vyriešili správne. Jedným z mnohých riešení je aj možnosť využiť variačný počet, ktorý vznikol práve popri hľadaní riešenia tejto úlohy vďaka Leonardovi Eulerovi. Variačný počet je (vtedy ešte neexistujúca) časť matematiky, ktorá sa zaobera hľadaním takzvaných extremál funkcionálov. Môžeme si všimnúť, že názvoslovie nie je použité veľmi kreatívne. Medzi pojmany funkcia – funkcionál a extrém – extremál existuje analógia, ktorá je zároveň analógiou medzi klasickou analýzou funkcií (derivácie, hľadanie extrémov) a novou disciplínnou, už viackrát spomínaným variačným počtom, ktorý skúma funkcionály, teda zobrazenia, ktoré funkciám priradzujú čísla.

Funkcionálom je teda (vo všeobecnej rovine) každé zobrazenie, ktoré funkciám prirazduje číslo. Teda napríklad, ak vezmete tabuľku a do jedného stĺpca budete vpisovať rôzne funkcie a do druhého rôzne čísla priradené týmto funkciám, definujete tak touto tabuľkou funkcionál. V praxi sa ale používajú funkcionály, ktoré majú nejaký lepší zmysel, a preto typickým príkladom funkcionálu je určitý integrál. Určitý integrál zrejme poznáte ako spôsob, akým spočítat plochu pod nejakou krivkou. Počíta sa tak, že krivku vyjadrenú pomocou funkcie  $y = f(x)$  najprv zintegrujeme v zmysle neurčitého integrálu. Následne od seba odčítame funkčnú hodnotu neurčitého integrálu odpovedajúcu hornej hranici intervalu od funkčnej hodnoty odpovedajúcej dolnej hranici intervalu, čím dostaneme číslo, ktoré sa rovná ploche pod danou krivkou na danom intervale.

Predstavme si ale, že máme nejaký interval, v ktorého krajných bodoch máme definované hodnoty, napríklad interval  $(0,1)$ , v nule hodnotu 0 a v jednične hodnotu 1. Tieto dva body môžeme spojiť ľubovoľne vďačia krivkami. Zadajme si teda úlohu nájsť spomedzi týchto kriviek takú, ktorá je zo všetkých možných kriviek najkratšia. Všetci z vás samozrejme viete, že riešením tejto úlohy je priamka, v tomto prípade priamka  $y = x$ . Táto úloha je ale typickou úlohou variačného počtu, to znamená úlohou, kde hľadáme, kedy je nejaký funkcionál extremálny. Jednoduchšie povedané, vieme zostaviť funkcionál, ktorý zadanej krivke popísanej funkciou  $y(x)$  na nejakom intervale (v našom prípade na  $(0,1)$ ) priradí dĺžku tejto krivky. Takýto funkcionál

vie spočítať dĺžku ľubovoľnej krivky, je teda dobrú analógiou funkcie. Líši sa akurát v tom, že funkcia je zobrazenie zobrazujúce z množiny reálnych čísel, kdežto tento funkcionál zobrazuje z množiny všetkých funkcií, ktoré majú na danom intervale pevne zadané hodnoty v krajných bodoch. Už všetci poznáme metódu, ako nájsť extrém funkcie - stačí položiť deriváciu tejto funkcie rovnú nule. Veľmi podobnej logiky využíva aj variačný počet. Vieme v ňom definovať takzvanú Gateauxovu (Gateaux čítaj „Gatô“) deriváciu (názov je podľa mena matematika, nie je za tým nič hlbšie), ktorá je nulová pre funkciu ktorá maximalizuje/minimalizuje daný funkcionál.

### Derivácia Gateaux

Definujeme si deriváciu Gateaux podobne ako klasickú deriváciu funkcie. Ked  $S$  je nejaký funkcionál, v našom prípade reprezentovaný vždy určitým intergálom nejakej funkcie  $y(x)$ , a  $t$  je nejaké reálne číslo, potom limitu

$$\lim_{t \rightarrow 0} \frac{S[y(x) + t \cdot h(x)] - S[y(x)]}{t} = \lim_{t \rightarrow 0} \frac{\int_a^b f(y(x) + t \cdot h(x)) \, dx - \int_a^b f(y(x)) \, dx}{t}$$

nazveme deriváciou Gateaux v smere  $h(x)$ . Dôležité je, ako si takúto deriváciu predstaví. Predstavme si to nasledovne. Máme dva pevné body, ktoré môže spájať ľubovoľné množstvo funkcií. Chceme nájsť napríklad takú, ktorá by splňala zadanie úlohy o brachistochrone. Vezmeme teda nejakú krivku spájajúcu tieto dva body (reprezentovanú nejakou funkciou) a skúšame k nej pričítať rôzne iné funkcie. Sledujeme, ako sa mení (v tomto prípade) čas, za ktorý prejde naša gulička po tejto krivke z jedného bodu do druhého. Pričítavanie funkcií je v limite reprezentované pričítaním malého násobku nejakej reálnej funkcie  $h(x)$ , čo môže byť pre pôvodnú predstavu zradné. Jednoduchšie je si to predstaviť tak, že máme nejakú krivku spájajúcu tieto dva body. Pustíme po nej guličku a odmeriame čas, po ktorý pohyb tejto guličky trval. Potom krivku maličko upravíme (niektoré jej body pusunieme o trochu vyššie, iné trochu nižšie v zmysle osy  $y$ ). Znova spustíme po krivke guličku a znova odmeriame čas. Ak bol druhý nameraný čas kratší, znamená to, že naše „modifikácie dráhy“ boli úspešné a spôsob, ktorým sme ich realizovali, bol správny. Teda sa pokúsime znova realizovať úpravy podobným smerom, čo robíme až dovtedy, kým sa čas pohybu guličky skracuje. Potom sa môžeme nadalej pokúsať modifikovať dráhu guličky iným spôsobom, až nakoniec dospejeme do štátia, že akákoľvek ďalšia modifikácia dráhy by znamenala predĺženie doby putovania guličky. Vtedy môžeme prehlásiť, že sme našli trajektóriu, ktorá rieši zadanie úlohy brachistochrony.

Podme sa teraz na to pozrieť z matematickejšieho hľadiska a vysvetliť si, ako nám matematika pomôže túto nekonečnú postupnosť natahovaní špagátiku medzi dvoma bodmi zjednodušiť. Drobné zmeny v tvare dráhy guličky sa dajú vyjadriť, ako už bolo spomenuté, tak, že k súčasnemu tvaru špagátiku (reprezentovanému nejakou funkciou  $y(x)$ ) prirátame nejakú „malú“ funkciu  $h(x)$ . Malú v zmysle, že sa na skoro celom nami uvažovanom intervale veľmi málo líši od nuly. Potom sčítaním  $h(x)$  a  $y(x)$  dostenem funkciu, ktorá sa bude len veľmi málo lísiť od  $y(x)$ . Tieto drobné zmeny funkcie nazývame *variácie* funkcie, z čoho aj pochádza názov variačný počet.

Ak sa dalej pozrieme na výslednú funkciu, ktorá v našom príklade minimalizovala dobu pohybu guličky, zistíme, že ak k nej pričítame akúkoľvek malú funkciu, doba pohybu guličky sa predĺži. To si vieme predstaviť aj tak, že zo všetkých okolitých kriviek je táto najoptimálnejšia pre riešenie našej úlohy. Nejakým spôsobom je „najminimálnejšia“ alebo „najextremálnejšia“.

A práve na takomto princípe funguje variačný počet. Fyzikálne problémy sú častokrát formulované podmienkou extremály.<sup>6</sup> My túto extremálu nájdeme podobne ako pri hľadaní extrémov funkcií. Položíme Gateaux deriváciu funkcionálu rovnú nulu a nájdeme takú funkciu, ktorá tento zderivovaný funkcionál nuluje. Prečo je to tak si hovoríť nebudeme, ale dá sa to povšimnúť z analógie, ktorú som načrtol vyššie. Minimum funkcie je taký bod, že ak sa pohnem ľubovoľným smerom, hodnota tejto funkcie bude stále vyššia. *Minimizér* funkcionálu je taká funkcia, že akákoľvek jej malá zmena (kde znova opakujem, že túto zmenu si vieme najlepšie predstaviť ako natiahnutie danej krivky nejakým smerom) spôsobí to, že nás funkcionál jej priradí vyššiu hodnotu ako tej nezmenenej/nevariovanej funkcií.

Dúfam, že teraz máte lepsiu predstavu o tom, ako variačný počet funguje. Vrhнемe sa teda k ďalšej časti. Vieme už, že ak je nejaká funkcia minimizér, príp. maximizér (význam tohto slova asi nie je potrebné vysvetlovať) funkcionálu, tak je pre túto funkciu Gateaux derivácia nášho funkcionálu nulová. Teraz si ešte ukážeme, ako sa táto derivácia počítava jednoducho, len pomocou znalostí derivácií funkcií jednej premennej.

Ako sme už povedali mnohokrát, funkcionál je zobrazenie z množiny funkcií do reálnych čísel. Zadefinujem si pomocné zobrazenie pre konkrétny funkcionál  $S$ , ktoré bude funkcia  $g(t)$  z reálnych čísel do reálnych čísel, a to čisto pre účely výpočtu derivácie Gateaux tohto konkrétneho funkcionálu  $S$

$$g(t) = S(y(x) + t \cdot h(x)).$$

Vidíme, že sa skutočne jedná o funkciu reálnej premennej  $t$ , ktorá nám na výstupe vráti reálne číslo. Poprosím usilovných čitateľov seriálu, aby si za úlohu vyskúšali, že derivácia tejto funkcie v nule

$$\frac{dg}{dt}(0) = \lim_{t \rightarrow 0} \frac{g(t) - g(0)}{t}$$

je rovná Gateaux derivácií funkcionálu v smere<sup>7</sup>  $h(x)$ . Podme si toto všetko ukázať na nejakom konkrétnom príklade.

### *Príklad: Hľadanie najkratšej spojnice dvoch bodov*

Využijeme príklad z úvodu seriálu: Nájdite najkratšiu možnú krivku spájajúcu bod  $[0, 0]$  a bod  $[1, 1]$ .

Klíčové pre riešenie tohto príkladu je poznaf funkcionál, ktorý nám určí dĺžku nejakej krivky vyjadrenej pomocou funkcie  $y(x)$ . Odvodit tvar tohto funkcionálu je jednoduché. Dá sa to pri správne nakreslenom obrázku za použitia Pythagorovej vety.

*Bonus* Na tomto mieste vyhlasujeme bonusovú úlohu, a tou je odvodiť tvar nasledujúceho funkcionálu

$$l_y = \int_a^b \sqrt{1 + \left(\frac{dy}{dx}\right)^2} dx,$$

<sup>6</sup>Minimalizujeme energiu, svetlo sa pohybuje tak, aby mu dráha v priestore trvala čo najkratší čas (tzv. Fermatov princip), kvapka vody má gulový tvar, pretože pri ňom má najnižšiu energiu. Na druhej strane, termodynamické deje sa dejú tak, aby sa maximalizovala entropia. To udávam ako veľmi dôležitý príklad, pretože mnoho ľudí to zjednodušuje tak, že príroda sa snaží veci minimalizovať. Toto ale nie je pravda, ako vidíme na príklade entropie. Pravdivý je teda skutočne princíp extremalizácie prírodných dejov, čo si ukážeme onedlho v tomto seriáli.

<sup>7</sup>Pojem v smere  $h(x)$  si môžete predstaviť tak, že ak Gateaux derivácia nejakého funkcionálu nadobúda istú hodnotu, napríklad nulu, tak extremála je to vtedy, ak nadobúda nulu pre všetky funkcie  $h(x)$ . Jednoduchšie povedané, ak je nejaká derivácia nulová, znamená to, že daný zderivovaný funkcionál je nula bez ohľadu na to, ako zvolíme funkciu  $h(x)$ . To je niečo, čo si o chvíliku ukážeme na funkcionále v praxi.

kde  $l_y$  je dĺžka krivky vyjadrenej pomocou funkcie  $y(x)$  ležiacej v intervale  $[a, b]$  na osi  $x$ .

Potom vieme dĺžku krivky, ktorú hľadáme, zapísat ako

$$l_y = \int_0^1 \sqrt{1 + \left(\frac{dy}{dx}\right)^2} dx.$$

Teraz chceme spočítať jej Gateaux deriváciu a položiť ju rovnú nule, aby sme našli extremálne hodnoty dĺžky kriviek spájajúce body  $[0, 0]$  a  $[1, 1]$ . Zapíšeme si našu funkciu  $g(t)$  a vypočítame jej deriváciu

$$\frac{dg}{dt}(0) = \frac{d}{dt} \int_0^1 \sqrt{1 + \left(\frac{d}{dx}(y + t \cdot h)\right)^2} dx \Big|_{t=0}.$$

Pre zjednodušenie zápisu si označíme pre ľubovoľnú funkciu  $a(x)$  jej deriváciu podľa  $x$  ako  $\dot{a}(x) = \dot{a}$ . Potom sa nám výraz vizuálne zjednoduší. Zároveň rozpišeme dvojčlen umocnený na druhú, čím dostaneme

$$\frac{dg}{dt}(0) = \frac{d}{dt} \int_0^1 \sqrt{1 + \dot{y}^2 + 2\dot{t}\dot{y} + t^2\dot{h}^2} dx \Big|_{t=0}.$$

Teraz zameníme integrál a deriváciu podľa<sup>8</sup>  $t$ . Derivovaním výrazu pod integrálom dostaneme

$$\frac{dg}{dt}(0) = \int_0^1 \frac{\dot{h}\dot{y} + t\dot{h}^2}{\sqrt{1 + \dot{y}^2 + 2\dot{t}\dot{y} + t^2\dot{h}^2}} dx \Big|_{t=0}.$$

Teraz nám stačí dosadiť za  $t = 0$  a dostaneme

$$\frac{dg}{dt}(0) = \int_0^1 \frac{\dot{y}}{\sqrt{1 + \dot{y}^2}} \dot{h} dx.$$

Extremála je taká funkcia, že pre ľubovoľnú funkciu  $h(x)$  splňajúcu podmienky, ktoré sme spomíinali vyššie, nuluje daný integrál. My máme pod funkcionálom ale niečo vynásobené deriváciu funkcie  $h(x)$ . Tejto derivácie sa zbavíme pomocou per-partes. Čitateľovi, ktorému nebude nasledujúci krok hned jasné, odporúčam si to vedla na papieri spočítať pomalšie

$$\int_0^1 \frac{\dot{y}}{\sqrt{1 + \dot{y}^2}} \dot{h} dx = \left[ h \frac{\dot{y}}{\sqrt{1 + \dot{y}^2}} \right]_0^1 - \int_0^1 \frac{d}{dx} \left( \frac{\dot{y}}{\sqrt{1 + \dot{y}^2}} \right) h dx.$$

My vieme, že funkcia  $h(x)$  – variácia funkcie  $y(x)$  – mení tvar funkcie  $y(x)$  ale tak, aby krivka popísaná súčtom týchto funkcií spájala tie isté body ako spája samotná krivka  $y(x)$ . Z toho vieme, že funkcia  $h(x)$  musí vždy splňať podmienku, že v kraných bodoch intervalu je nulová. Ak budeme vyčíslovať „preintegrovaný“ člen v per-partes, ktoré sme práve urobili, tak hodnoty v krajných bodoch budú nulové, pretože je tam nejaká funkcia prenásobená funkciou  $h(x)$ . Chceme teda riešiť rovnicu

$$\int_0^1 \frac{d}{dx} \left( \frac{\dot{y}}{\sqrt{1 + \dot{y}^2}} \right) h dx = 0.$$

<sup>8</sup>Z matematického hľadiska nie je jasné, či ak zameníme poradie derivácie a integrálu, tak dostaneme ten istý výsledok. Rozhodne totižto existujú funkcie, pre ktoré to neplatí. Jedná sa však skôr o výnimky a z fyzikálneho hľadiska, kde uvažujeme spojité a diferencovateľné (derivovateľné) funkcie, môžeme vymeniť poradie týchto dvoch operácií. Rovnako tak aj poradie limity a derivácie alebo limity a integrálu a podobne.

Hľadáme funkciu, pre ktorú je Gateaux derivácia funkcionálu nulová. Ako sme už naznačili vyššie, keďže táto rovnosť má platiť pre ľubovoľnú funkciu  $h(x)$ , musí platiť, že zvyšok pod integrálom je nulový (pre každé  $x$ ). Potom máme

$$\frac{d}{dx} \left( \frac{\dot{y}}{\sqrt{1 + \dot{y}^2}} \right) = 0,$$

$$\frac{\dot{y}}{\sqrt{1 + \dot{y}^2}} = \text{konst} = c.$$

Riešiť túto rovnicu je možné metódou separácie premenných. Môžeme si tiež všimnúť, že ju možno upraviť do tvaru  $\dot{y} = \frac{c}{\sqrt{1-c^2}}$ , teda  $\dot{y}$  je konštantné. Pre tých, ktorí nevedia riešiť diferenciálne rovnice, pomôže univerzálny nástroj Wolfram Alpha. Ako riešenie dostanete rovnicu všeobecnej priamky

$$y = ax + b.$$

Keďže v našom prípade sme chceli najkratšiu cestu z bodu  $[0, 0]$  do  $[1, 1]$ , teda  $y(0) = 0$  a  $y(1) = 1$ , vieme rýchlo dopočítať, že nami hľadaná extremála je  $y = x$ .

### *Hamiltonov variačný princíp*

V predchádzajúcej časti sme si ukázali, ako funguje variačný počet. V tejto časti sa vrátíme naspäť k fyzike. Bude to ale skôr rozprávacia časť o samotnej podstate toho, ako funguje svet (alebo ako sa nám na základe doterajších pozorovaní zdá, že funguje). Celé toto rozprávanie bude ale založené na pochopení toho, čo to je a aký význam má variačný počet. Preto ak si nie ste istí, či ste predchádzajúcu časť pochopili dostatočne správne, tak odporúčam si ju ešte raz prejst predtým, ako sa vrhneme k fyzike.

Hamiltonov variačný princíp nám, zjednodušene, vratí o tom, že všetko, čo príroda robí, robí tak, aby pritom musela vynaložiť čo najmenej „námahy“. V potenciálovom poli sa rozmiestnia hmotné objekty tak, aby mali čo najmenší potenciál. Svetlo sa medzi dvoma bodmi šíri vždy tak, aby mu to trvalo najkratší (alebo najdlhší) možný čas. Telesá si pri vzájomnom kontakte začnú vymeniať teplo, až kým nedosiahnu tepelnú rovnováhu, a to preto, aby dosiahli najvyššiu možnú entropiu. Najvyššia entropia potom zároveň ale bude zodpovedať aj najnižšej možnej celkovej vnútornnej energii telies, ktoré si vymieňajú teplo. Všetky tieto fyzikálne zákonitosti má väčšina ľudí opozorované a my si to teraz matematicky popíšeme. Ako sa dá vôbec vyjadriť „úsilie“ prírody veci minimalizovať?

Vo fyzike je definovaná veličina *akcia*. Ako už z názvu vyplýva, jedná sa akoby o množstvo „akcie“, ktoré bolo pri nejakom dejí vykonané. Akcia  $S$  je definovaná ako

$$S = \int_{t_1}^{t_2} L(\dot{q}(t), q(t)) dt,$$

kde  $L$  je naša stará známa Lagrangeova funkcia. Pripomeňme si značenie -  $q(t)$  je zovšeobecnená súradnica lagrangiánu a jej derivácia je zovšeobecnená rýchlosť v smere tejto súradnice. Lagrangián môže samozrejme závisieť od viacerých súradníc.

Hamiltonov variačný princíp, alebo aj princíp najmenšej akcie, hovorí o tom, že každý fyzikálny dej medzi časovými bodmi  $t_1$  a  $t_2$  sa deje tak, aby bola akcia minimálna. Keď formulujeme

zákon o nejakej funkcií  $f(x)$ , ktorý spočíva v tom, že táto funkcia nadobúda za istých podmienok svojho minima, znamená to, že za tých dánich podmienok je derivácia tejto funkcie nulová. Rovnako, ak chceme o funkcií definovanej pomocou integrálu (napríklad našej akcie) povedať, že nadobúda svoje minimum, povieme, že je to vtedy, keď je jej Gateaux derivácia nulová. Spomínali sme si, že o Gateaux derivácii sa hovorí aj ako o variácii nejakej funkcie pod integrálom, z čoho pochádza asi najznámejšia slovná formulácia tohto princípu, a sice: *Variácia akcie je nula.* (Znovu rozumej Gateaux derivácia funkcionálu nazvaného „akcia“ je nulová.) Z tejto formulácie je samozrejme odvodený aj názov „Hamiltonov variačný princíp“.

Variačné princípy sú vo fyzike veľmi oblúbené, lebo skúsenému fyzikovi dávajú pri znalosti lagrangiánu nejakého systému častokrát rýchly nástroj, ako odvodiť isté všeobecné závery. Dá sa napríklad jednoducho ukázať, že Lagrangeove rovnice druhého druhu plynú z princípu najmenšej akcie, čo si my na úplný záver celého seriálu ukážeme.

### *Odvodenie Lagrangeových rovníc z Hamiltonovho variačného princípu*

Ako z názvu a odseku predtým vyplýva, budeme chcieť z nejakého všeobecného lagrangiánu odvodiť Lagrangeove pohybové rovnice. Ako uvidíme, bude sa jednať o matematicky omnoho korektniejsie a aj prirodzenejšie odvodenie Lagrangeových rovníc. Majme teda náš funkcionál, ktorého Gateaux deriváciu chceme mať nulovú

$$S = \int_{t_1}^{t_2} L(\dot{q}(t), q(t)) dt.$$

Parameter  $t$  pri Gateaux derivácii si preznačíme na  $s$

$$0 = \frac{d}{ds} \int_{t_1}^{t_2} L\left(\frac{d}{dt}(q(t) + s \cdot h(t)), q(t) + s \cdot h(t)\right) dt = 0.$$

Prederivujeme podla  $s$  (Lagrangeovu funkciu  $L$  derivujeme ako zloženú funkciu podľa retiazkového pravidla) a dosadíme za  $s = 0$

$$0 = \int_{t_1}^{t_2} \left( \frac{\partial L}{\partial q} \cdot h(x) + \frac{\partial L}{\partial \dot{q}} \cdot \dot{h}(x) \right) dt.$$

Prvý člen je presne v tvare, v akom ho potrebujeme. Teda v tvare nejakej funkcie  $\dot{q}(t)$  a  $q(t)$  krát nejaká naša funkcia  $h(x)$ , ktorá je nulová na hranici nášho uvažovaného intervalu. Druhý člen ale neobsahuje funkciu  $h(x)$ , ale jej deriváciu. Spravíme preto znova per partes, pričom preintegrovaný člen znova zmizne, nakoľko bude obsahovať aj funkciu  $h(x)$ , ktorá je nulová na okrajoch intervalu, v ktorých sa celý člen vyčísluje. Usilovným čitateľom, tentokrát už naposledy, odporúčam si to prepísat a celé spočítať vedľa na papieri. Potom dostaneme

$$0 = \int_{t_1}^{t_2} \left( \frac{\partial L}{\partial q} - \frac{d}{dt} \left( \frac{\partial L}{\partial \dot{q}} \right) \right) \cdot h(x) dt.$$

My už ale vieme, že ak má byť pre všetky nami uvažované funkcie  $h(x)$  integrál nulový, musí byť nulový zvyšok pod integrálom. Z toho hned plynú Lagrangeove rovnice v tvare, ako ich poznáme

$$0 = \frac{\partial L}{\partial q} - \frac{d}{dt} \left( \frac{\partial L}{\partial \dot{q}} \right).$$

## Záver

Po tom, ako sme v minulom seriáli ukončili kapitolu Lagrangeových rovníc, sme v tomto diele predstavili ešte mierne odlišný pohľad na mechaniku a na odvodenie Lagrangeových rovníc. Tento pohľad si vyžadoval hlbšie matematické znalosti, ktoré sme sa pokúsili čitateľovi sprostredkovať v natoliko strávitelnej podobe, aby dokázal pochopíť záverečné odvodenie v seriáli. Toto odvodenie má totiž hlboký význam, nakoľko nám ukazuje, že tá „najelegantnejšia formulácia mechaniky“ vlastne nie je výsledkom nejakého vymysleného formalizmu, ktorý nemá reálny význam, ale je výsledkom princípu extremalizácie akcie, čo je... jednoducho povedané. Autor seriálu pevne dúfa, že to na vás spravilo rovnaký dojem ako naňho, keď sa to dozvedel.

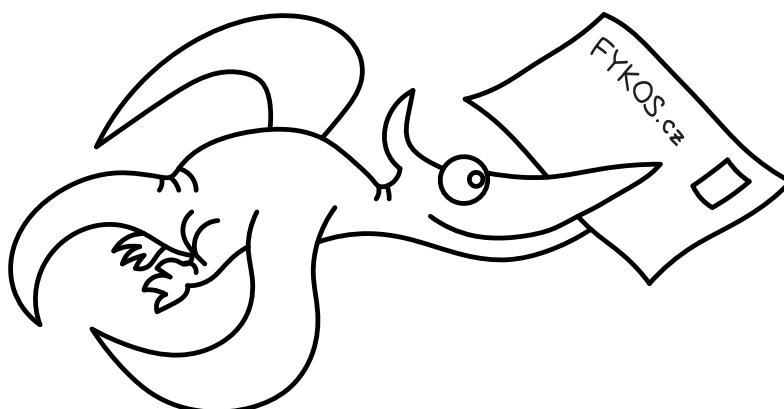
Seriálové úlohy, ako zrejme mnohí z vás už vedia, sú zamerané na opakovanie toho, čo bolo spomenuté v predchádzajúcich častiach seriálu. To dáva možnosť precvičenia všetkého doteraz spomenutého. Zároveň sa vám chcem podakovať za vaš záujem a za vaše spätné väzby k seriálu a rád príjem aj ďalšie, záverečné, aj keď tie už vývoj seriálu neovplyvnia. Samozrejme, nezabudnite riešiť FYKOS aj ďalší rok a s mnohými z vás sa určite uvidíme na sústredení, kde môžeme niečo, ak by to z doterajšieho výkladu nebolo jasné, prekonzultovať.

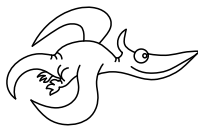
Zároveň by som chcel nazáver podakovať profesorovi Jiřímu Podolskému, nielen za vynikajúce skriptá ktoré ma inšpirovali pri vytvorení seriálu a z ktorých som čerpal mnoho odvodení v tomto seriály, ale aj za to, že odprednášal tento predmet z môjho pohľadu tak kvalitne, že ma oslovil a rozhodol som sa o časti tohto predmetu napísat seriál, ktorý ste práve dočitali.

Ďalšie podakovanie patrí technickému tímu FYKOSu za všetky korektúry, najmä jazykové korektúry, ktoré trpeziivo aj keď s frflaním robili.

Na úplný záver dakujem vám, riešiteľom, za riešenie seriálových úloh, za tých párr pozitívnych ohlasov a pochváľ, ktoré človeka veľmi potesia. Síce len malé množstvo z vás odovzdalo aj poslednú sériu, to sa ale dá pochopiť, nakoľko to bolo náročné najmä z matematického hľadiska. Tým čo to celé zvládli úprimne gratulujem. Riešte ďalej FYKOS a študujte fyziku, lebo to má zmysel!

Jakub Jambrich





## Pořadí řešitelů po V. sérii

Kompletní výsledky najdete na <http://fykos.cz>.

### Kategorie prvních ročníků

jméno Student Pilný	škola MFF UK											V	„%“	%	Σ		
		1	2	3	4	5	P	E	S	6	6	6	8	9	9	12	10
		6	6	6	8	9	9	9	10	66	100	330					
1. Eva Feldbabelová	Katolické gymnázium Třebíč	6	6	8	8	4	5	1	8	46	76	211					
2. Jiří Kohl	Biskupské G, Brno	6	6	6	—	—	—	8	—	26	85	190					
3. Adam Krška	G, Mikulov	6	6	2	—	9	1	9	—	33	68	161					
4. Vojtěch Stránský	G Brno, tř. Kpt. Jaroše	2	—	5	—	2	—	—	—	9	60	109					
5. Adam Hústava	European School Luxembourg	2	—	6	—	—	—	—	—	8	73	97					
II																	
6. Vojtěch Votruba	G Jana Keplera, Praha	—	—	—	—	—	—	—	—	—	59	82					
7. Benedikt Bareš	G Dobruška	—	—	—	—	—	—	—	—	—	76	73					
8. Aleš Opl	Gymnázium Praha 3	6	—	6	—	—	—	—	—	12	89	67					
9. Matěj Charousek	G Na Vítězné pláni, Praha	—	—	—	—	—	—	—	—	—	41	56					
10. Hynek Jakeš	Slovanské G, Olomouc	4	6	6	1	—	—	—	4	21	68	54					
11. Eliška Durstová	G, Dvůr Králové n. L.	2	—	1	1	—	1	—	—	5	52	46					
12. Barbora Čemanová	G, Park mládeže, Košice	—	—	1	—	—	1	6	—	8	42	45					
13. Sára Byšková	G Jana Keplera, Praha	—	—	—	—	—	—	—	—	—	63	33					
14. Adéla Kolembusová	European School Luxembourg	2	—	0	0	—	—	—	—	2	40	31					
II																	
15. Kristýna Jenčíková	G nám. E. Beneše, Kladno	6	6	6	—	—	—	—	—	18	100	30					
16. Filip Zikeš	G P. Bezruče, Frýdek-Místek	—	—	—	—	—	—	—	—	—	71	24					
17.–18. Zuzana Lisztwanová	G J. Słowackiego, Český Těšín	—	—	—	—	—	—	—	—	—	75	18					
17.–18. Petr Šicho	G Jana Keplera, Praha	—	—	—	—	—	—	—	—	—	32	18					
19. Meshkat KM	RUMC, Dhaka, Bangladesh	—	—	—	—	—	—	—	—	—	68	17					
20. Milan Marek	G Neumannova, Žďár n. S.	—	—	—	—	—	—	—	—	—	35	15					
21. Jan Ptáček	G, Špitálská, Praha	—	—	—	—	—	—	—	—	—	58	11					
22. Adam Korbel	G, Strakonice	2	—	1	—	—	—	—	—	3	38	9					
23. Lukáš Veškrna	G Jana Keplera, Praha	—	—	—	—	—	—	—	—	—	38	8					
24.–25. Natália Kalinová	G, P. Horova, Michalovce	—	—	—	—	—	—	—	—	—	50	7					
24.–25. Bianka Tomaščíková	G Varšavská, Žilina	—	—	—	—	—	—	—	—	—	54	7					
26.–31. Jiří Antonůň	G, Špitálská, Praha	—	—	—	—	—	—	—	—	—	100	6					
26.–31. Tereza Preclíková	G Dobruška	—	—	—	—	—	—	—	—	—	50	6					
26.–31. Radim Skála	G, Hořovice	—	—	—	—	—	—	—	—	—	100	6					
26.–31. Matyáš Svoboda	G, Mikulov	—	—	—	—	—	—	—	—	—	50	6					
26.–31. Adam Šebesta	Masarykovo G, Plzeň	—	—	—	—	—	—	—	—	—	100	6					
26.–31. Jan Šuráň	G, Špitálská, Praha	—	—	—	—	—	—	—	—	—	50	6					
26.–31. Tomáš Nevrlnka	G Brno, tř. Kpt. Jaroše	2	—	—	—	—	—	—	—	2	33	2					

## Kategorie druhých ročníků

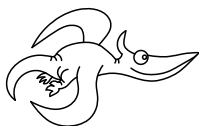
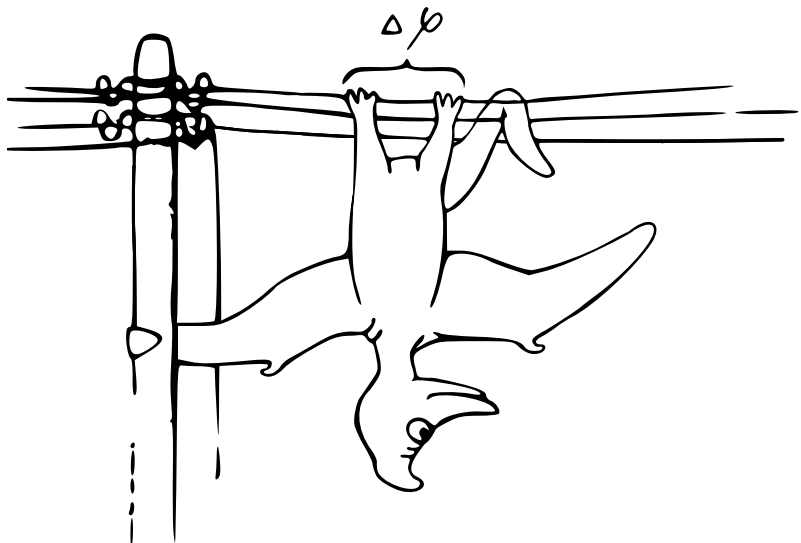
jméno Student Pilný	škola MFF UK											V	„%	%	Σ				
		1	2	3	4	5	P	E	S	6	6	6	8	9	9	12	10	66	100
1. Robert Gemrot	G Komenského, Havířov	6	6	6	6	5	9	9	—	47	82	253							
2. Martina Daňková	Klasická a španělské G, Brno	6	6	2	—	9	7	—	—	30	86	185							
3. Soňa Husáková	G, Českolipská, Praha	6	6	2	4	4	3	10	—	35	69	175							
4. Patrik Kašpárek	Katolické gymnázium Třebíč	2	6	6	1	—	5	6	2	28	63	174							
5. Adam Mendl	G P. de Coubertina, Tábor	6	—	8	4	9	—	6	4	37	77	154							
6. Lubor Čech	G Brno, tř. Kpt. Jaroše	2	4	1	—	2	2	4	—	15	50	142							
7. Elena Chocholáková	G L. Svobodu, Humenné	6	6	6	—	—	3	—	—	21	86	134							
8. Marco Souza de Joode	G Nad Štolou, Praha	—	—	—	—	—	—	—	—	—	63	111							
9. Tomáš Tuleja	G L. Svobodu, Humenné	6	6	6	—	—	—	—	—	18	93	99							
10. Jan Klívan	G, Dačice	4	—	2	—	—	—	—	—	6	61	70							
11. Radek Lacko	G Komenského, Havířov	—	—	—	—	—	—	—	—	—	65	47							
12. Daniel Perout	G Brno, tř. Kpt. Jaroše	—	—	—	—	—	—	—	—	—	60	45							
13. Martin Polyácsko	G Alejová, Košice	6	0	1	3	—	—	—	—	10	61	43							
14. Jan Červeňan	G J. Pivečky, Slavíčín	6	6	1	—	—	—	—	1	14	51	37							
15. Lucia Gintnerová	G Sv. Františka, Žilina	—	—	—	—	—	—	—	—	—	94	30							
16.–17. Duong Phan	Cumberland Valley HS, USA	4	6	6	—	9	3	—	—	28	78	28							
16.–17. Jarmila Terpáková	G L. Svobodu, Humenné	—	—	—	—	—	—	—	—	—	82	28							
18. Karolína Letochová	G, Šternberk	—	—	—	—	—	—	—	—	—	51	26							
19. Jan Vavřín	PORG, Praha	6	6	6	0	2	—	0	—	20	43	20							
20.–21. Jakub Kliment	G Tajovského, B. Bystrica	6	6	7	—	—	—	—	—	19	106	19							
20.–21. Šárka Štěpánková	G J. Ressela, Chrudim	—	—	—	—	—	—	—	—	—	63	19							
22. Matěj Dvořák	G Jana Keplera, Praha	—	—	—	—	—	—	—	—	—	72	18							
23.–24. Laura Hanousková	G J. Wolker, Prostějov	0	—	1	1	—	1	1	—	4	20	16							
23.–24. Kristýna Chlupáčová	G J. Ressela, Chrudim	2	4	1	—	—	—	—	—	7	44	16							
25. Gabriel Ščurka	ŠpMNDaG, Bratislava	—	—	—	—	—	—	—	—	—	53	10							
26. Daniel Czinege	SPŠ chemická, Ostrava	—	—	—	—	—	—	—	—	—	47	9							
27. Vojtěch Janota	G, Strakonice	—	—	—	—	—	—	—	—	—	47	7							
28. František Krůs	Masarykovo G, Plzeň	—	—	—	—	—	—	—	—	—	27	6							

## Kategorie třetích ročníků

jméno Student Pilný	škola MFF UK											V	„%	%	Σ				
		1	2	3	4	5	P	E	S	3	3	6	8	9	9	12	10		
		3	3	6	8	9	9	12	10	60	100	300							
1. Viktor Materna	G Brno, tř. Kpt. Jaroše	3	3	6	5	4	4	10	2	37	85	234							
2. Jaroslav Herman	G Brno, tř. Kpt. Jaroše	3	3	8	5	4	3	10	4	40	74	222							
3. Jakub Jobus	G Jura Hronca, Bratislava	3	3	6	2	7	4	7	5	37	72	217							
4. Martin Schmied	G, Jihlava	3	3	6	3	5	2	5	10	37	71	214							
5. Jaroslav Scheinpflug	G Jírovčova, České Budějovice	3	3	2	4	9	7	5	7	40	68	192							
6. David Kománek	G, Špitálská, Praha	3	3	6	5	9	6	6	0	38	75	188							
7. Radka Křížová	G J. Heyrovského, Praha	3	3	2	3	—	—	—	—	11	80	168							
8. Jan Benda	G, Litoměřická, Praha	3	—	8	5	—	—	—	—	16	89	164							
9. Jakub Strnad	Klvaňovo G Kyjov	3	3	6	2	4	—	3	—	21	60	145							
10. Jiří Zelenka	G Z. Wintra, Rakovník	3	2	6	—	—	2	4	—	17	60	122							
11. Martin Vavřík	G, Šumperk	—	—	—	—	—	—	—	—	—	87	95							
12. Veronika Hendrychová	G, Turnov	—	2	1	3	—	—	4	—	10	59	86							
13. Samuel Jankových	G Hubeného, Bratislava	2	2	6	3	6	3	—	1	23	67	72							
14. Lukáš Hronek	G, Písek	—	—	—	—	—	—	9	—	9	96	64							
15. Jan Divila	G, Lesní čtvrt, Zlín	—	—	—	—	—	—	—	—	—	52	52							
16.–17. Ronald Doboš	G Poštová, Košice	—	—	—	—	—	—	—	—	—	85	51							
16.–17. Pavla Rudolfová	G, Vídeňská, Brno	0	—	—	—	—	—	—	—	0	86	51							
18. Matěj Holubička	Zemědělská akademie a Gymnázium	1	2	1	2	—	—	—	—	6	48	43							
19. Jan Obořil	Klasické a španělské G, Brno	—	—	—	—	—	—	—	—	—	74	37							
20. Jakub Pravda	ŠpMNDaG, Bratislava	—	—	—	—	—	—	—	—	—	67	34							
21. Kateřina Barotová	G, Olomouc-Hejčín	—	—	—	—	—	—	—	—	—	60	28							
22. Matěj Krátký	PORG, Praha	—	—	—	—	—	—	—	—	—	71	27							
23.–24. Petra Pálkováčsová	G, Nové Zámky	—	—	—	—	—	—	—	—	—	38	23							
23.–24. Václav Zvoníček	G Brno, tř. Kpt. Jaroše	—	—	—	—	—	—	—	—	—	72	23							
25. Josef Polášek	G Jana Keplera, Praha	—	—	—	—	—	—	—	—	—	48	22							
26.–27. Rachel Johnson	Richardson High School, USA	—	—	—	—	—	—	—	—	—	42	21							
26.–27. Jana Večerková	G, Šumperk	3	3	6	5	4	—	—	—	21	72	21							
28. Milan Tichavský	Slezské G, Opava	—	—	—	—	—	—	—	—	—	67	20							
29.–30. Kryštof Jasenský	G, Lesní čtvrt, Zlín	—	—	—	—	—	—	—	—	—	45	19							
29.–30. Jan Vondra	G Týn nad Vltavou	0	—	—	—	—	—	—	—	0	48	19							
31.–32. Minh Khoi Ho	Hanoi - Amsterdam HS, Vietnam	—	—	—	—	—	—	—	—	—	76	16							
31.–32. Filip Zukal	G, Blansko	—	—	—	—	—	—	—	—	—	27	16							
33. Eva Vochovková	Biskupské G, Brno	—	—	—	—	—	—	—	—	—	62	13							
34. Dominika Kodlová	PORG, Praha	—	—	—	—	—	—	—	—	—	29	11							
35. Daniel Krátký	G, Trutnov	—	—	—	—	—	—	—	—	—	59	10							
36.–37. Kateřina Roupová	G, Blansko	—	—	—	—	—	—	—	—	—	23	9							
36.–37. Zuzana Šimáčková	NLCS, London, UK	—	—	—	—	—	—	—	—	—	69	9							
38. Erika Žitniaková	Evanjelické G, Banská Bystrica	—	—	—	—	—	—	—	—	—	23	5							
39.–40. Lucia Krajčoviechová	G Jura Hronca, Bratislava	—	—	—	—	—	—	—	—	—	67	4							
39.–40. Martina Pivková	Evanjelické G, Banská Bystrica	—	—	—	—	—	—	—	—	—	40	4							
41. Kateřina Vokálová	G, Kolín	—	—	—	—	—	—	—	—	—	67	2							

## Kategorie čtvrtých ročníků

jméno Student Pilný	škola MFF UK	1	2	3	4	5	P	E	S	V	„%	%	Σ
		3	3	6	8	9	9	12	10	60	100	300	
1. Martín Vaněk	G, Vysoké Mýto	—	—	—	—	—	—	—	—	—	95	186	
2. Kateřina Rosická	G J. Ortena, Kutná Hora	—	—	—	—	—	—	—	—	—	87	138	
3. Ivan Hudák	ESŠ, Lip. Mikuláš	—	—	—	—	—	—	—	—	—	93	130	
4. Michal Jůza	G, Benešov	3	6	0	2	7	0	18	53	94			
5. Kristián Matuštík	G, Benešov	3	6	—	—	9	—	18	51	88			
6. Jiří Blaha	G, Uherské Hradiště	—	—	—	—	—	—	—	—	—	82	84	
7.-8. Vojtěch Ulman	G Jaroslava Seiferta, Praha	—	—	—	—	—	—	—	—	—	47	80	
7.-8. Leonardo Wimmer	Colégio pH, Tijuca, Brazil	—	—	—	—	—	—	—	—	—	82	80	
9. Marie Grunová	G, Moravský Krumlov	—	—	—	—	—	—	—	—	—	57	78	
10. Filip Konářík	G F. Palackého, Val. Mez.	—	—	—	—	—	—	—	—	—	91	72	
11. Jindřich Jelínek	G, Olomouc-Hejčín	—	—	—	—	—	—	—	—	—	108	65	
12. Matej Moško	G Grösslingova, Bratislava	—	—	—	—	—	—	—	—	—	70	59	
13. Vojtěch Klimeš	G, Třeboň	—	—	—	—	—	—	—	—	—	67	40	
14. YUQING XU ARIA	Dulles High School, USA	—	—	—	—	—	—	—	—	—	63	38	
15. Tomáš Drobil	G, Dačice	—	—	—	—	—	—	—	—	—	72	36	
16. Kateřina Charvátová	G B. Němcové, HK	—	3	6	1	3	—	—	—	13	65	35	
17. Jindřich Dušek	G Jana Keplera, Praha	—	—	—	—	—	—	—	—	—	57	34	
18. Tadeáš Wilczek	G F. Živného, Bohumín	—	—	—	—	—	—	—	—	—	73	32	
19. Marek Jankola	G M. Hattalu, Trstená	—	—	—	—	—	—	—	—	—	71	27	
20. Tereza Prokopová	G Jura Hronca, Bratislava	3	—	—	—	—	—	—	—	3	87	26	
21.-22. Andrej Rendek	G, Dubnica n. Váhom	—	—	—	—	—	—	—	—	—	36	24	
21.-22. Jakub Růžička	G, Nymburk	—	—	—	—	—	—	—	—	—	63	24	
23. Karel Balej	G a SOŠ, Rokycany	—	—	—	—	—	—	—	—	—	100	17	
24. Miroslav Horský	G, Českolipská, Praha	—	—	—	—	—	—	—	—	—	52	16	
25. Dominik Majkus	G Na Vítězné pláni, Praha	—	—	—	—	—	—	—	—	—	46	13	
26. Jaromír Sladkovský	PORG, Praha	—	—	—	—	—	—	—	—	—	63	12	
27. Bibiana Hroncová	G Poštová, Košice	—	—	—	—	—	—	—	—	—	92	11	
28.-30. Bernadeta Maříková	G, Český Krumlov	—	—	—	—	—	—	—	—	—	56	9	
28.-30. Štěpán Tichý	G, Jateční, Ústí nad Labem	—	—	—	—	—	—	—	—	—	43	9	
28.-30. Marie Vaňáková	G Botičská, Praha	—	—	—	—	—	—	—	—	—	50	9	
31.-32. Vratislav Besta	G, Olomouc-Hejčín	—	—	—	—	—	—	—	—	—	33	6	
31.-32. Marek Talíř	G, Český Krumlov	—	—	—	—	—	—	—	—	—	60	6	
33. Marek Božoň	G, Karviná	—	—	—	—	—	—	—	—	—	43	3	



**FYKOS**  
UK, Matematicko-fyzikální fakulta  
Ústav teoretické fyziky  
V Holešovičkách 2  
180 00 Praha 8

www: <https://fykos.cz>  
e-mail: [fykos@fykos.cz](mailto:fykos@fykos.cz)

@FYKOS @fykosak

---

Fyzikální korespondenční seminář je organizován studenty MFF UK. Je zastřešen Oddělením propagace a mediální komunikace MFF UK a podporován Ústavem teoretické fyziky MFF UK, jeho zaměstnanci a Jednotou českých matematiků a fyziků. Realizace projektu byla podpořena Ministerstvem školství, mládeže a tělovýchovy.

Toto dílo je šířeno pod licencí Creative Commons Attribution-Share Alike 3.0 Unported.  
Pro zobrazení kopie této licence navštivte <https://creativecommons.org/licenses/by-sa/3.0/>.